

Volumes finis pour les problèmes elliptiques hétérogènes anisotropes sur maillages généraux

PARTIE 2

Franck BOYER

Laboratoire d'Analyse, Topologie et Probabilités
CNRS / Université Paul Cézanne

Ecole d'été du GDR MOAD
Fréjus, 31 Aout - 3 Septembre 2009



1 QUELQUES GRANDES CLASSES DE MÉTHODES

- Schémas MPFA
- Schémas diamants
- Schémas VF monotones non-linéaires
- Schémas DDFV
- Schémas mimétiques
- Schémas VF mixtes
- Schémas SUCCES / SUSHI

2 COMPARAISONS : BENCHMARK FVCA 5

- Test 1 : Anisotropie modérée
- Test 3 : Ecoulement oblique
- Test 4 : Faille verticale
- Test 5 : Anisotropie tournante hétérogène
- Test 8 : Source ponctuelle

3 BILAN

1 QUELQUES GRANDES CLASSES DE MÉTHODES

- Schémas MPFA
- Schémas diamants
- Schémas VF monotones non-linéaires
- Schémas DDFV
- Schémas mimétiques
- Schémas VF mixtes
- Schémas SUCCES / SUSHI

2 COMPARAISONS : BENCHMARK FVCA 5

- Test 1 : Anisotropie modérée
- Test 3 : Ecoulement oblique
- Test 4 : Faille verticale
- Test 5 : Anisotropie tournante hétérogène
- Test 8 : Source ponctuelle

3 BILAN

PROBLÈMES LINÉAIRES

$$-\operatorname{div}(A(x)\nabla u) = f$$

• SCHÉMAS PUREMENT CELL-CENTERED

- MPFA (Aavatsmark et al. '98 → '08)
(Edwards et al. '06, '08)
- Schémas diamant (Coudière-Vila-Villedieu '99, '00)
(Manzini et al ... '04 → '07)
- SUSHI (version barycentrique) = SUCCES
(Eymard-Gallouet-Herbin '08)

PROBLÈMES LINÉAIRES

$$-\operatorname{div}(A(x)\nabla u) = f$$

• SCHÉMAS PUREMENT CELL-CENTERED

- MPFA (Aavatsmark et al. '98 → '08)
(Edwards et al. '06, '08)
- Schémas diamant (Coudière-Vila-Villedieu '99, '00)
(Manzini et al ... '04 → '07)
- SUSHI (version barycentrique) = SUCCES
(Eymard-Gallouet-Herbin '08)

• SCHÉMAS VF MONOTONES NON-LINÉAIRES

- Schémas diamant non-linéaire (Bertolazzo-Manzini '07)
- NMFV (Le Potier '05) (Lipnikov et al '07)

PROBLÈMES LINÉAIRES

$$-\operatorname{div}(A(x)\nabla u) = f$$

● SCHÉMAS PUREMENT CELL-CENTERED

- MPFA (Aavatsmark et al. '98 → '08)
(Edwards et al. '06, '08)
- Schémas diamant (Coudière-Vila-Villedieu '99, '00)
(Manzini et al ... '04 → '07)
- SUSHI (version barycentrique) = SUCCES
(Eymard-Gallouet-Herbin '08)

● SCHÉMAS VF MONOTONES NON-LINÉAIRES

- Schémas diamant non-linéaire (Bertolazzo-Manzini '07)
- NMFV (Le Potier '05) (Lipnikov et al '07)

● SCHÉMAS SUR MAILLAGES PRIMAL ET DUAL

- DDFV (Hermeline '00) (Domelevo-Omnes '05)
(Pierre '06) (Andreianov-B.-Hubert '07)
- m-DDFV (Hermeline '03) (B.-Hubert '08)

PROBLÈMES LINÉAIRES

$$-\operatorname{div}(A(x)\nabla u) = f$$

● SCHÉMAS PUREMENT CELL-CENTERED

- MPFA (Aavatsmark et al. '98 → '08)
(Edwards et al. '06,'08)
- Schémas diamant (Coudière-Vila-Villedieu '99, '00)
(Manzini et al ... '04 → '07)
- SUSHI (version barycentrique) = SUCCES
(Eymard-Gallouet-Herbin '08)

● SCHÉMAS VF MONOTONES NON-LINÉAIRES

- Schémas diamant non-linéaire (Bertolazzo-Manzini '07)
- NMFV (Le Potier '05) (Lipnikov et al '07)

● SCHÉMAS SUR MAILLAGES PRIMAL ET DUAL

- DDFV (Hermeline '00) (Domelevo-Omnes '05)
(Pierre '06) (Andreianov-B.-Hubert '07)
- m-DDFV (Hermeline '03) (B.-Hubert '08)

● SCHÉMAS MIXTES OU HYBRIDES

- Schémas mimétiques (Brezzi, Lipnikov et al '05 → '08)
(Manzini et al '07-'08)
- VF mixtes (Droniou-Eymard '06)
- SUSHI (version hybride) (Eymard-Gallouet-Herbin '08)

1 QUELQUES GRANDES CLASSES DE MÉTHODES

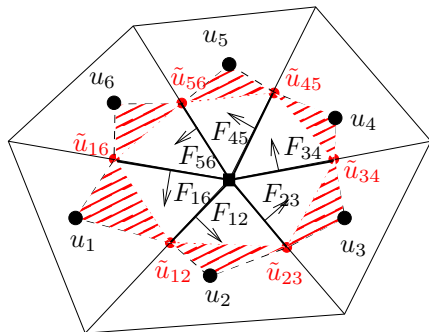
- Schémas MPFA
- Schémas diamants
- Schémas VF monotones non-linéaires
- Schémas DDFV
- Schémas mimétiques
- Schémas VF mixtes
- Schémas SUCCES / SUSHI

2 COMPARAISONS : BENCHMARK FVCA 5

- Test 1 : Anisotropie modérée
- Test 3 : Ecoulement oblique
- Test 4 : Faille verticale
- Test 5 : Anisotropie tournante hétérogène
- Test 8 : Source ponctuelle

3 BILAN

SCHÉMA O



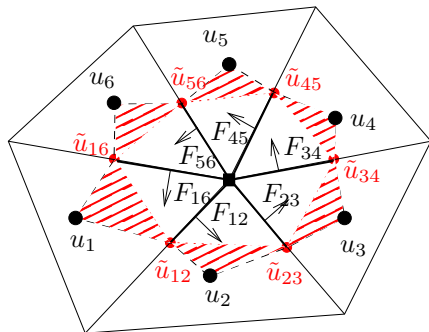
(Aavatsmark et al. '98 → '08)

- Inconnues intermédiaires : \tilde{u}_{ij}
- Calcul d'un gradient sur chaque triangle rouge T_i

$$\begin{aligned} \nabla_i u^\tau &= \frac{\tilde{u}_{i,i+1} - u_i}{2|T_i|} (\tilde{x}_{i-1,i} - x_i)^\perp \\ &\quad + \frac{\tilde{u}_{i-1,i} - u_i}{2|T_i|} (\tilde{x}_{i,i+1} - x_i)^\perp. \end{aligned}$$

SCHÉMA O

(Aavatsmark et al. '98 → '08)



- Inconnues intermédiaires : \tilde{u}_{ij}
- Calcul d'un gradient sur chaque triangle rouge T_i

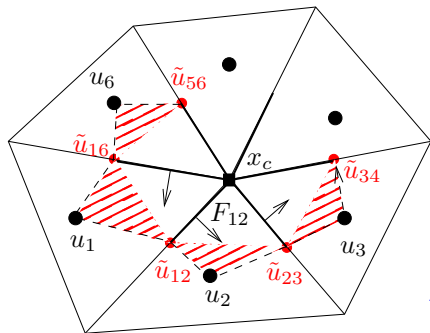
$$\begin{aligned} \nabla_i u^T &= \frac{\tilde{u}_{i,i+1} - u_i}{2|T_i|} (\tilde{x}_{i-1,i} - x_i)^\perp \\ &\quad + \frac{\tilde{u}_{i-1,i} - u_i}{2|T_i|} (\tilde{x}_{i,i+1} - x_i)^\perp. \end{aligned}$$

- On écrit la continuité des flux

$$F_{i,i+1} \stackrel{\text{def}}{=} \boxed{(A_i \nabla_i u^T) \cdot \nu_{i,i+1} = (A_{i+1} \nabla_{i+1} u^T) \cdot \nu_{i,i+1}}.$$

- Etant donnés les u_i , on calcule les $\tilde{u}_{i,i+1}$ puis les flux $F_{i,i+1}$.

SCHÉMA U : On veut calculer F_{12} (Aavatsmark et al. '98 → '08)

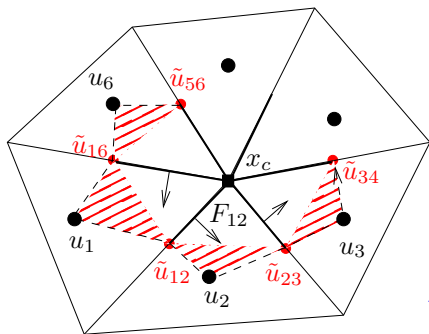


- Inconnues intermédiaires : \tilde{u}_{ij}
- Calcul d'un gradient sur chaque triangle rouge T_i

$$\begin{aligned} \nabla_i u^\tau &= \frac{\tilde{u}_{i,i+1} - u_i}{2|T_i|} (\tilde{x}_{i-1,i} - x_i)^\perp \\ &\quad + \frac{\tilde{u}_{i-1,i} - u_i}{2|T_i|} (\tilde{x}_{i,i+1} - x_i)^\perp. \end{aligned}$$

↪ Cela définit une fonction affine $U_i(x)$ sur chaque cellule.

SCHÉMA U : On veut calculer F_{12} (Aavatsmark et al. '98 → '08)



- Inconnues intermédiaires : \tilde{u}_{ij}
- Calcul d'un gradient sur chaque triangle rouge T_i

$$\nabla_i u^\tau = \frac{\tilde{u}_{i,i+1} - u_i}{2|T_i|} (\tilde{x}_{i-1,i} - x_i)^\perp + \frac{\tilde{u}_{i-1,i} - u_i}{2|T_i|} (\tilde{x}_{i,i+1} - x_i)^\perp.$$

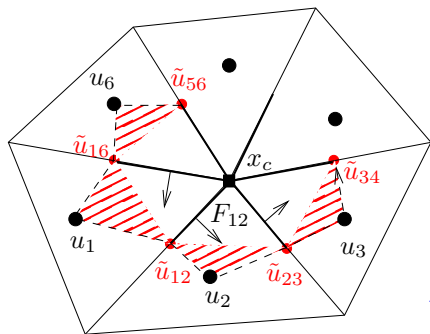
↪ Cela définit une fonction affine $U_i(x)$ sur chaque cellule.

- On écrit la continuité des flux pour F_{12} , F_{23} et F_{61}

$$F_{i,i+1} \stackrel{\text{def}}{=} \boxed{(A_i \nabla_i u^\tau) \cdot \nu_{i,i+1} = (A_{i+1} \nabla_{i+1} u^\tau) \cdot \nu_{i,i+1}}, \quad i \in \{1, 2, 6\}$$

- Il manque deux équations.

SCHÉMA U : On veut calculer F_{12} (Aavatsmark et al. '98 → '08)



- Inconnues intermédiaires : \tilde{u}_{ij}
- Calcul d'un gradient sur chaque triangle rouge T_i

$$\begin{aligned} \nabla_i u^T &= \frac{\tilde{u}_{i,i+1} - u_i}{2|T_i|} (\tilde{x}_{i-1,i} - x_i)^\perp \\ &+ \frac{\tilde{u}_{i-1,i} - u_i}{2|T_i|} (\tilde{x}_{i,i+1} - x_i)^\perp. \end{aligned}$$

↪ Cela définit une fonction affine $U_i(x)$ sur chaque cellule.

- On écrit la continuité des flux pour F_{12}, F_{23} et F_{61}

$$F_{i,i+1} \stackrel{\text{def}}{=} \boxed{(A_i \nabla_i u^T) \cdot \nu_{i,i+1} = (A_{i+1} \nabla_{i+1} u^T) \cdot \nu_{i,i+1}}, \quad i \in \{1, 2, 6\}$$

- Il manque deux équations. On écrit :

$$U_2(x_c) = U_3(x_c), \quad \text{et} \quad U_1(x_c) = U_6(x_c).$$

- Etant donnés les u_i , on calcule les $\tilde{u}_{i,i+1}$ puis le flux F_{12} .

PROPRIÉTÉS

- En général :
 - le système linéaire obtenu n'est pas symétrique.
 - coercivité/stabilité en défaut pour de fortes anisotropies et/ou hétérogénéités et/ou distorsions du maillage.
- Version symétrique/stabilisée sur des quad. dans (Le Potier, '05).

PROPRIÉTÉS

- En général :
 - le système linéaire obtenu n'est pas symétrique.
 - coercivité/stabilité en défaut pour de fortes anisotropies et/ou hétérogénéités et/ou distorsions du maillage.
- Version symétrique/stabilisée sur des quad. dans (Le Potier, '05).
- Stencil :
 - La méthode O engendre un stencil trop grand.
 - Pour la méthode U sur des triangles conformes : un flux dépend de 6 inconnues.
 - En général, l'équation sur un volume de contrôle κ dépend des voisins de κ et des voisins des voisins de κ .

PROPRIÉTÉS

- En général :
 - le système linéaire obtenu n'est pas symétrique.
 - coercivité/stabilité en défaut pour de fortes anisotropies et/ou hétérogénéités et/ou distorsions du maillage.
- Version symétrique/stabilisée sur des quad. dans (Le Potier, '05).
- Stencil :
 - La méthode O engendre un stencil trop grand.
 - Pour la méthode U sur des triangles conformes : un flux dépend de 6 inconnues.
 - En général, l'équation sur un volume de contrôle κ dépend des voisins de κ et des voisins des voisins de κ .
- Pas de gradient discret complet naturellement à disposition.

PROPRIÉTÉS

- En général :
 - le système linéaire obtenu n'est pas symétrique.
 - coercivité/stabilité en défaut pour de fortes anisotropies et/ou hétérogénéités et/ou distorsions du maillage.
- Version symétrique/stabilisée sur des quad. dans (Le Potier, '05).
- Stencil :
 - La méthode O engendre un stencil trop grand.
 - Pour la méthode U sur des triangles conformes : un flux dépend de 6 inconnues.
 - En général, l'équation sur un volume de contrôle κ dépend des voisins de κ et des voisins des voisins de κ .
- Pas de gradient discret complet naturellement à disposition.
- Pas de principe du maximum pour les méthodes de base.
Variantes pour assurer la monotonie dans certains cas.
- Convergence dans le cas général sous une hypothèse géométrique de coercivité (Agelas-Masson, '08)

1 QUELQUES GRANDES CLASSES DE MÉTHODES

- Schémas MPFA
- Schémas diamants
- Schémas VF monotones non-linéaires
- Schémas DDFV
- Schémas mimétiques
- Schémas VF mixtes
- Schémas SUCCES / SUSHI

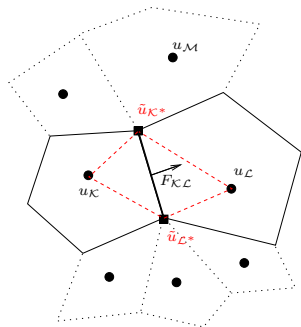
2 COMPARAISONS : BENCHMARK FVCA 5

- Test 1 : Anisotropie modérée
- Test 3 : Ecoulement oblique
- Test 4 : Faille verticale
- Test 5 : Anisotropie tournante hétérogène
- Test 8 : Source ponctuelle

3 BILAN

(Coudière-Vila-Villedieu, '99, '00)

- Inconnues intermédiaires aux sommets $\tilde{u}_{\mathcal{K}^*}$, $\tilde{u}_{\mathcal{L}^*}$.

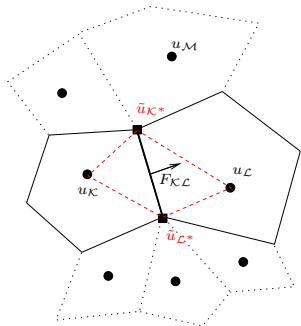


(Coudière-Vila-Villedieu, '99, '00)

- Inconnues intermédiaires aux sommets $\tilde{u}_{\mathcal{K}^*}$, $\tilde{u}_{\mathcal{L}^*}$.
- Gradient discret sur la cellule diamant \mathcal{D} :

$$\nabla_{\mathcal{D}}^T u^T = \frac{u_{\mathcal{L}} - u_{\mathcal{K}}}{d_{\mathcal{K}\mathcal{L}} \sin \alpha_{\mathcal{D}}} \nu_{\mathcal{K}\mathcal{L}} + \frac{\tilde{u}_{\mathcal{L}^*} - \tilde{u}_{\mathcal{K}^*}}{d_{\mathcal{K}^*\mathcal{L}^*} \sin \alpha_{\mathcal{D}}} \nu_{\mathcal{K}^*\mathcal{L}^*}.$$

$$\Leftrightarrow \begin{cases} \nabla_{\mathcal{D}}^T u^T \cdot (x_{\mathcal{L}} - x_{\mathcal{K}}) = u_{\mathcal{L}} - u_{\mathcal{K}}, \\ \nabla_{\mathcal{D}}^T u^T \cdot (x_{\mathcal{L}^*} - x_{\mathcal{K}^*}) = \tilde{u}_{\mathcal{L}^*} - \tilde{u}_{\mathcal{K}^*}. \end{cases}$$

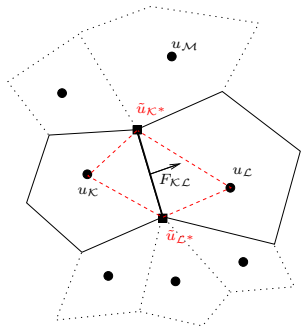


(Coudière-Vila-Villedieu, '99, '00)

- Inconnues intermédiaires aux sommets $\tilde{u}_{\mathcal{K}^*}$, $\tilde{u}_{\mathcal{L}^*}$.
- Gradient discret sur la cellule diamant \mathcal{D} :

$$\nabla_{\mathcal{D}}^T u^T = \frac{u_{\mathcal{L}} - u_{\mathcal{K}}}{d_{\mathcal{K}\mathcal{L}} \sin \alpha_{\mathcal{D}}} \nu_{\mathcal{K}\mathcal{L}} + \frac{\tilde{u}_{\mathcal{L}^*} - \tilde{u}_{\mathcal{K}^*}}{d_{\mathcal{K}^*\mathcal{L}^*} \sin \alpha_{\mathcal{D}}} \nu_{\mathcal{K}^*\mathcal{L}^*}.$$

$$\Leftrightarrow \begin{cases} \nabla_{\mathcal{D}}^T u^T \cdot (x_{\mathcal{L}} - x_{\mathcal{K}}) = u_{\mathcal{L}} - u_{\mathcal{K}}, \\ \nabla_{\mathcal{D}}^T u^T \cdot (x_{\mathcal{L}^*} - x_{\mathcal{K}^*}) = \tilde{u}_{\mathcal{L}^*} - \tilde{u}_{\mathcal{K}^*}. \end{cases}$$



- $\tilde{u}_{\mathcal{K}^*}$ et $\tilde{u}_{\mathcal{L}^*}$ sont **calculés** par

$$\tilde{u}_{\mathcal{K}^*} = \sum_{\mathcal{M}} \underbrace{\gamma_{\mathcal{M},\mathcal{K}^*}}_{\geq 0} u_{\mathcal{M}}, \quad \tilde{u}_{\mathcal{L}^*} = \sum_{\mathcal{M}} \underbrace{\gamma_{\mathcal{M},\mathcal{L}^*}}_{\geq 0} u_{\mathcal{M}},$$

$$\text{avec } \sum_{\mathcal{M}} \gamma_{\mathcal{M},\mathcal{K}^*} = 1, \quad \sum_{\mathcal{M}} \gamma_{\mathcal{M},\mathcal{K}^*} x_{\mathcal{M}} = x_{\mathcal{K}^*}.$$

PROPRIÉTÉS

- Les poids $\gamma_{\mathcal{M},\kappa^*}$ sont calculés par moindres carrés.
- La consistance du schéma au sens des volumes finis est assurée.

PROPRIÉTÉS

- Les poids $\gamma_{\mathcal{M},\kappa^*}$ sont calculés par moindres carrés.
- La consistance du schéma au sens des volumes finis est assurée.
- La coercivité/stabilité **n'est pas assurée** sauf pour des maillages “proches” de maillages rectangles.
- Si on a coercivité, alors on a les estimations d'erreur en $O(h)$ pour u et ∇u en norme L^2 .

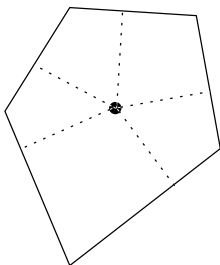
PROPRIÉTÉS

- Les poids $\gamma_{\mathcal{M},\kappa^*}$ sont calculés par moindres carrés.
- La consistance du schéma au sens des volumes finis est assurée.
- La coercivité/stabilité **n'est pas assurée** sauf pour des maillages “proches” de maillages rectangles.
- Si on a coercivité, alors on a les estimations d'erreur en $O(h)$ pour u et ∇u en norme L^2 .
- Le schéma peut s'écrire sur des maillages généraux mais n'est analysé que pour des simplexes (2D/3D) et des quadrangles en 2D.
- En général, le schéma **n'est pas symétrique**.

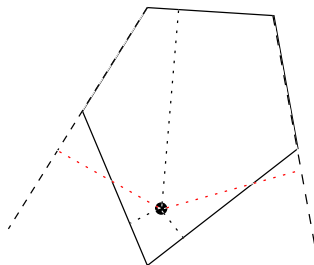
(Manzini et al ... '04 → '07)

- On suppose que les centres se projettent orthogonalement sur les arêtes.

OK



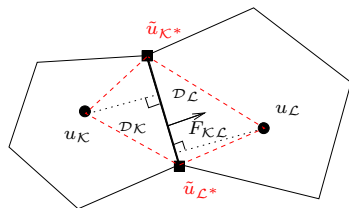
pas OK



- Les auteurs donnent un algorithme qui donne des poids $\gamma_{\mathcal{M}, \kappa^*}$, tels que

$$\gamma_{\mathcal{M}, \kappa^*} \geq C_0 > 0, \quad \forall \mathcal{M} \text{ contenant } x_{\kappa^*}.$$

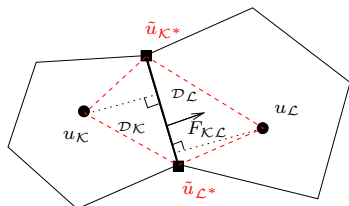
(Manzini et al ... '04 → '07)



Définition d'un gradient sur chaque demi-diamant \mathcal{D}_K et \mathcal{D}_L à partir de trois valeurs :

$$\nabla_{\mathcal{D}_K} u^T, \quad \nabla_{\mathcal{D}_L} u^T.$$

(Manzini et al ... '04 → '07)



Définition d'un gradient sur chaque demi-diamant \mathcal{D}_K et \mathcal{D}_L à partir de trois valeurs :

$$\nabla_{\mathcal{D}_K} u^T, \quad \nabla_{\mathcal{D}_L} u^T.$$

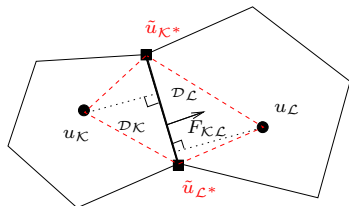
- On regarde alors les deux flux correspondant

$$-|\sigma| \nabla_{\mathcal{D}_K} u^T \cdot \nu_{K,L} = \underbrace{\alpha_K^\kappa}_{>0} (u_K - u_L) + \sum_{M \neq K} \underbrace{\alpha_M^\kappa}_{\geq 0} (u_K - u_M),$$

$$-|\sigma| \nabla_{\mathcal{D}_L} u^T \cdot \nu_{K,L} = \underbrace{\alpha_L^\ell}_{>0} (u_K - u_L) + \sum_{M \neq L} \underbrace{\alpha_M^\ell}_{\geq 0} (u_M - u_L).$$

On pose $\alpha = \min(\alpha_K^\kappa, \alpha_L^\ell) > 0$.

(Manzini et al ... '04 → '07)



Définition d'un gradient sur chaque demi-diamant \mathcal{D}_K et \mathcal{D}_L à partir de trois valeurs :

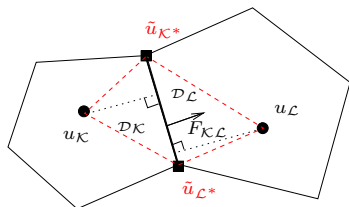
$$\nabla_{\mathcal{D}_K} u^T, \quad \nabla_{\mathcal{D}_L} u^T.$$

- On regarde alors les deux flux correspondant

$$-|\sigma| \nabla_{\mathcal{D}_K} u^T \cdot \boldsymbol{\nu}_{K\mathcal{L}} = \alpha(u_K - u_L) + \underbrace{\sum_{\mathcal{M}} \underbrace{(\alpha_M^K - \alpha \delta_{\mathcal{M}\mathcal{L}})}_{\geq 0}}_{\stackrel{\text{def}}{=} g_K(u)} (u_K - u_{\mathcal{M}}),$$

$$-|\sigma| \nabla_{\mathcal{D}_L} u^T \cdot \boldsymbol{\nu}_{K\mathcal{L}} = \alpha(u_K - u_L) + \underbrace{\sum_{\mathcal{M}} \underbrace{(\alpha_M^K - \alpha \delta_{\mathcal{M}\mathcal{K}})}_{\geq 0}}_{\stackrel{\text{def}}{=} g_L(u)} (u_{\mathcal{M}} - u_L).$$

(Manzini et al ... '04 → '07)



Définition d'un gradient sur chaque demi-diamant \mathcal{D}_K et \mathcal{D}_L à partir de trois valeurs :

$$\nabla_{\mathcal{D}_K} u^T, \quad \nabla_{\mathcal{D}_L} u^T.$$

$$-|\sigma| \nabla_{\mathcal{D}_K} u^T \cdot \nu_{KL} = \alpha(u_K - u_L) + g_K(u^T),$$

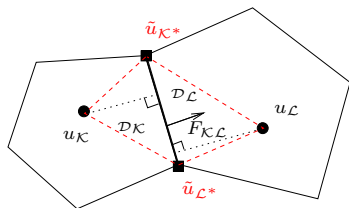
$$-|\sigma| \nabla_{\mathcal{D}_L} u^T \cdot \nu_{KL} = \alpha(u_K - u_L) + g_L(u^T).$$

- On pose $\omega_D(u^T) = \frac{|g_L(u^T)|}{|g_K(u^T)| + |g_L(u^T)|}$ et on va prendre comme gradient

$$\nabla_D u^T = \omega_D(u^T) \nabla_{\mathcal{D}_K} u^T + (1 - \omega_D(u^T)) \nabla_{\mathcal{D}_L} u^T.$$

$$\Rightarrow F_{KL} \stackrel{\text{def}}{=} -|\sigma| \nabla_D u^T \cdot \nu_{KL} = \alpha(u_K - u_L) + \underbrace{\frac{g_K(u^T)|g_L(u^T)| + g_L(u^T)|g_K(u^T)|}{|g_K(u^T)| + |g_L(u^T)|}}_{=T}.$$

(Manzini et al ... '04 → '07)



Définition d'un gradient sur chaque demi-diamant \mathcal{D}_K et \mathcal{D}_L à partir de trois valeurs :

$$\nabla_{\mathcal{D}_K} u^T, \quad \nabla_{\mathcal{D}_L} u^T.$$

$$F_{KL} = -|\sigma| \nabla_{\mathcal{D}} u^T \cdot \nu_{KL} = \alpha(u_K - u_L) + \underbrace{\frac{g_K(u^T)|g_L(u^T)| + g_L(u^T)|g_K(u^T)|}{|g_K(u^T)| + |g_L(u^T)|}}_{=T}.$$

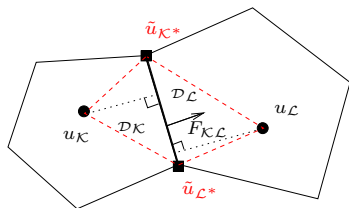
- Si $g_K(u^T)g_L(u^T) < 0$:

$$T = 0.$$

- Si $g_K(u^T)g_L(u^T) > 0$:

$$T = \frac{2g_K(u^T)g_L(u^T)}{g_K(u^T) + g_L(u^T)} \Rightarrow \begin{cases} T \text{ est un multiple } \mathbf{positif} \text{ de } g_K(u^T) \\ T \text{ est un multiple } \mathbf{positif} \text{ de } g_L(u^T) \end{cases}$$

(Manzini et al ... '04 → '07)



Définition d'un gradient sur chaque demi-diamant \mathcal{D}_K et \mathcal{D}_L à partir de trois valeurs :

$$\nabla_{\mathcal{D}_K} u^T, \quad \nabla_{\mathcal{D}_L} u^T.$$

$$F_{K,L} = -|\sigma| \nabla_{\mathcal{D}} u^T \cdot \nu_{K,L} = \alpha(u_K - u_L) + \underbrace{\frac{g_K(u^T)|g_L(u^T)| + g_L(u^T)|g_K(u^T)|}{|g_K(u^T)| + |g_L(u^T)|}}_{=T}.$$

$$F_{K,\mathcal{L}} = \alpha(u_K - u_L) + \underbrace{C_K}_{\geq 0} \sum_{\mathcal{M}} (\alpha_{\mathcal{M}}^K - \alpha \delta_{\mathcal{M}\mathcal{L}})(u_K - u_{\mathcal{M}}),$$

$$F_{K,\mathcal{L}} = \alpha(u_K - u_L) + \underbrace{C_L}_{\geq 0} \sum_{\mathcal{M}} (\alpha_{\mathcal{M}}^L - \alpha \delta_{\mathcal{M}K})(u_{\mathcal{M}} - u_L).$$

(Manzini et al ... '04 → '07)

PROPRIÉTÉS

- Consistance OK.
- Existence d'au moins une solution du schéma non-linéaire (bien que non régulier!).
- Quasi-unicité : toutes les solutions sont dans des boules de rayon $O(\text{size}(T)^2)$.
- Résolution par un solveur itératif qui nécessite l'inversion d'une unique matrice (non SDP).

(Manzini et al ... '04 → '07)

PROPRIÉTÉS

- Consistance OK.
- Existence d'au moins une solution du schéma non-linéaire (bien que non régulier!).
- Quasi-unicité : toutes les solutions sont dans des boules de rayon $O(\text{size}(T)^2)$.
- Résolution par un solveur itératif qui nécessite l'inversion d'une unique matrice (non SDP).

- Cette solution vérifie le principe du maximum discret.
- On a pas le principe du max à chaque itération du solveur.

(Manzini et al ... '04 → '07)

PROPRIÉTÉS

- Consistance OK.
- Existence d'au moins une solution du schéma non-linéaire (bien que non régulier!).
- Quasi-unicité : toutes les solutions sont dans des boules de rayon $O(\text{size}(T)^2)$.
- Résolution par un solveur itératif qui nécessite l'inversion d'une unique matrice (non SDP).

- Cette solution vérifie le principe du maximum discret.
- On a pas le principe du max à chaque itération du solveur.

- Pas d'analyse de convergence *a priori*.
- Numériquement on obtient de l'ordre 2 en norme L^2 .
- Possibilité de rajouter un terme d'advection avec une technique de type "limiteur de pente".

1 QUELQUES GRANDES CLASSES DE MÉTHODES

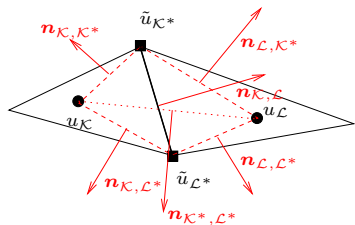
- Schémas MPFA
- Schémas diamants
- Schémas VF monotones non-linéaires
- Schémas DDFV
- Schémas mimétiques
- Schémas VF mixtes
- Schémas SUCCES / SUSHI

2 COMPARAISONS : BENCHMARK FVCA 5

- Test 1 : Anisotropie modérée
- Test 3 : Ecoulement oblique
- Test 4 : Faille verticale
- Test 5 : Anisotropie tournante hétérogène
- Test 8 : Source ponctuelle

3 BILAN

POUR SIMPLIFIER : $A(x) = A$ (Le Potier '05) (Lipnikov et al '07)



- Maillage de triangles.
- Les centres x_K et x_L seront déterminés par la suite.
- Les valeurs aux sommets \tilde{u}_{K^*} et \tilde{u}_{L^*} sont donnés par

$$\tilde{u}_{K^*} = \sum_M \underbrace{\gamma_{MK^*}}_{0 \leq \cdot \leq 1} u_M.$$

- Propriétés géométriques de base :

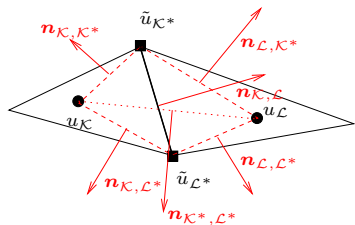
$$n_{K,K^*} + n_{L,K^*} + n_{K^*,L^*} = 0,$$

$$n_{K,L^*} + n_{L,L^*} - n_{K^*,L^*} = 0,$$

$$n_{K,K^*} + n_{K,L^*} + n_{K,L} = 0,$$

$$n_{L,K^*} + n_{L,L^*} - n_{K,L} = 0,$$

POUR SIMPLIFIER : $A(x) = A$ (Le Potier '05) (Lipnikov et al '07)



- Maillage de triangles.
- Les centres x_K et x_L seront déterminés par la suite.
- Les valeurs aux sommets \tilde{u}_{K^*} et \tilde{u}_{L^*} sont donnés par

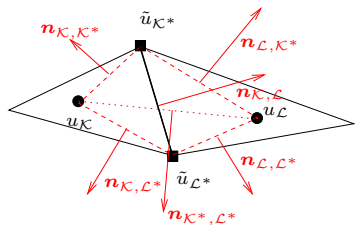
$$\tilde{u}_{K^*} = \sum_M \underbrace{\gamma_{MK^*}}_{0 \leq \cdot \leq 1} u_M.$$

- On définit deux gradients discrets

$$\nabla_{D_{K^*}} u^T = \frac{1}{C_{K^*}} \left(-u_L n_{K,K^*} - u_K n_{L,K^*} + \tilde{u}_{K^*} (n_{K,K^*} + n_{L,K^*}) \right),$$

$$\nabla_{D_{L^*}} u^T = \frac{1}{C_{L^*}} \left(-u_L n_{K,L^*} - u_K n_{L,L^*} + \tilde{u}_{L^*} (n_{K,L^*} + n_{L,L^*}) \right).$$

POUR SIMPLIFIER : $A(x) = A$ (Le Potier '05) (Lipnikov et al '07)



- Maillage de triangles.
- Les centres x_K et x_L seront déterminés par la suite.
- Les valeurs aux sommets \tilde{u}_{K^*} et \tilde{u}_{L^*} sont donnés par

$$\tilde{u}_{K^*} = \sum_M \underbrace{\gamma_{MK^*}}_{0 \leq \cdot \leq 1} u_M.$$

- On définit deux gradients discrets

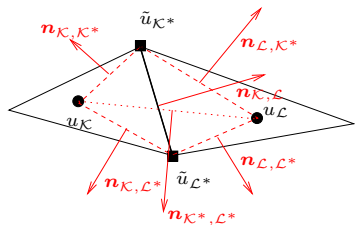
$$\nabla_{\mathcal{D}_{K^*}} u^T = \frac{1}{C_{K^*}} \left(-u_L \mathbf{n}_{K,K^*} - u_K \mathbf{n}_{L,K^*} + \boxed{\tilde{u}_{K^*} (\mathbf{n}_{K,K^*} + \mathbf{n}_{L,K^*})} \right),$$

$$\nabla_{\mathcal{D}_{L^*}} u^T = \frac{1}{C_{L^*}} \left(-u_L \mathbf{n}_{K,L^*} - u_K \mathbf{n}_{L,L^*} + \boxed{\tilde{u}_{L^*} (\mathbf{n}_{K,L^*} + \mathbf{n}_{L,L^*})} \right).$$

- Soit $F_{K,L} \stackrel{\text{def}}{=} -\mu |\sigma| (A \nabla_{\mathcal{D}_{K^*}} u^T) \cdot \mathbf{n}_{K,L} - (1-\mu) |\sigma| (A \nabla_{\mathcal{D}_{L^*}} u^T) \cdot \mathbf{n}_{K,L}$
On cherche **la forme** d'un flux à deux points :

$$\frac{\mu \tilde{u}_{K^*}}{C_{K^*}} A (\mathbf{n}_{K,K^*} + \mathbf{n}_{L,K^*}) \cdot \mathbf{n}_{K,L} + \frac{(1-\mu) \tilde{u}_{L^*}}{C_{L^*}} A (\mathbf{n}_{K,L^*} + \mathbf{n}_{L,L^*}) \cdot \mathbf{n}_{K,L} = 0.$$

POUR SIMPLIFIER : $A(x) = A$ (Le Potier '05) (Lipnikov et al '07)



- Maillage de triangles.
- Les centres x_K et x_L seront déterminés par la suite.
- Les valeurs aux sommets \tilde{u}_{K^*} et \tilde{u}_{L^*} sont donnés par

$$\tilde{u}_{K^*} = \sum_M \underbrace{\gamma_{MK^*}}_{0 \leq \cdot \leq 1} u_M.$$

- On définit deux gradients discrets

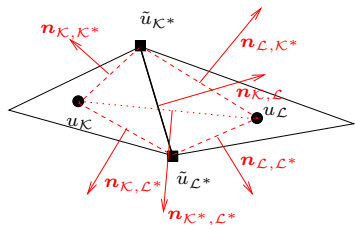
$$\nabla_{\mathcal{D}_{K^*}} u^T = \frac{1}{C_{K^*}} \left(-u_L \mathbf{n}_{K,K^*} - u_K \mathbf{n}_{L,K^*} + \boxed{\tilde{u}_{K^*} (\mathbf{n}_{K,K^*} + \mathbf{n}_{L,K^*})} \right),$$

$$\nabla_{\mathcal{D}_{L^*}} u^T = \frac{1}{C_{L^*}} \left(-u_L \mathbf{n}_{K,L^*} - u_K \mathbf{n}_{L,L^*} + \boxed{\tilde{u}_{L^*} (\mathbf{n}_{K,L^*} + \mathbf{n}_{L,L^*})} \right).$$

- Soit $F_{K,L} \stackrel{\text{def}}{=} -\mu |\sigma| (A \nabla_{\mathcal{D}_{K^*}} u^T) \cdot \mathbf{n}_{K,L} - (1-\mu) |\sigma| (A \nabla_{\mathcal{D}_{L^*}} u^T) \cdot \mathbf{n}_{K,L}$
On cherche **la forme** d'un flux à deux points :

$$\left(\frac{\mu \tilde{u}_{K^*}}{C_{K^*}} - \frac{(1-\mu) \tilde{u}_{L^*}}{C_{L^*}} \right) = 0.$$

POUR SIMPLIFIER : $A(x) = A$ (Le Potier '05) (Lipnikov et al '07)



- Maillage de triangles.
- Les centres x_K et x_L seront déterminés par la suite.
- Les valeurs aux sommets \tilde{u}_{K^*} et \tilde{u}_{L^*} sont donnés par

$$\tilde{u}_{K^*} = \sum_M \underbrace{\gamma_{MK^*}}_{0 \leq \cdot \leq 1} u_M.$$

- On définit deux gradients discrets

$$\nabla_{\mathcal{D}_{K^*}} u^T = \frac{1}{C_{K^*}} \left(-u_L \mathbf{n}_{K,K^*} - u_K \mathbf{n}_{L,K^*} + \boxed{\tilde{u}_{K^*} (\mathbf{n}_{K,K^*} + \mathbf{n}_{L,K^*})} \right),$$

$$\nabla_{\mathcal{D}_{L^*}} u^T = \frac{1}{C_{L^*}} \left(-u_L \mathbf{n}_{K,L^*} - u_K \mathbf{n}_{L,L^*} + \boxed{\tilde{u}_{L^*} (\mathbf{n}_{K,L^*} + \mathbf{n}_{L,L^*})} \right).$$

- Soit $F_{K,L} \stackrel{\text{def}}{=} -\mu |\sigma| (A \nabla_{\mathcal{D}_{K^*}} u^T) \cdot \mathbf{n}_{K,L} - (1 - \mu) |\sigma| (A \nabla_{\mathcal{D}_{L^*}} u^T) \cdot \mathbf{n}_{K,L}$
On cherche **la forme** d'un flux à deux points :

$$\mu(u) = \frac{\tilde{u}_{L^*} / C_{L^*}}{\tilde{u}_{K^*} / C_{K^*} + \tilde{u}_{L^*} / C_{L^*}}.$$

BILAN :

(Le Potier '05) (Lipnikov et al '07)

- Le flux numérique s'écrit comme un flux à deux points non-linéaire

$$F_{\mathcal{K},\mathcal{L}} = \tau_{\mathcal{K},\sigma}(u^T)|\sigma| u_{\mathcal{K}} - \tau_{\mathcal{L},\sigma}(u^T)|\sigma| u_{\mathcal{L}},$$

avec

$$\tau_{\mathcal{K},\sigma}(u^T) = \frac{\mu(u^T)}{C_{\mathcal{K}^*}}(A\mathbf{n}_{\mathcal{L},\mathcal{K}^*}) \cdot \mathbf{n}_{\mathcal{K},\mathcal{L}} + \frac{1 - \mu(u^T)}{C_{\mathcal{L}^*}}(A\mathbf{n}_{\mathcal{L},\mathcal{L}^*}) \cdot \mathbf{n}_{\mathcal{K},\mathcal{L}},$$

$$\tau_{\mathcal{L},\sigma}(u^T) = -\frac{\mu(u^T)}{C_{\mathcal{K}^*}}(A\mathbf{n}_{\mathcal{K},\mathcal{K}^*}) \cdot \mathbf{n}_{\mathcal{K},\mathcal{L}} - \frac{1 - \mu(u^T)}{C_{\mathcal{L}^*}}(A\mathbf{n}_{\mathcal{L},\mathcal{L}^*}) \cdot \mathbf{n}_{\mathcal{K},\mathcal{L}},$$

BILAN :

(Le Potier '05) (Lipnikov et al '07)

- Le flux numérique s'écrit comme un flux à deux points non-linéaire

$$F_{\mathcal{K},\mathcal{L}} = \tau_{\mathcal{K},\sigma}(u^T)|\sigma| u_{\mathcal{K}} - \tau_{\mathcal{L},\sigma}(u^T)|\sigma| u_{\mathcal{L}},$$

avec

$$\tau_{\mathcal{K},\sigma}(u^T) = \frac{\left(\tilde{u}_{\mathcal{L}^*} (A \mathbf{n}_{\mathcal{L},\mathcal{K}^*}) \cdot \mathbf{n}_{\mathcal{K},\mathcal{L}} + \tilde{u}_{\mathcal{K}^*} (A \mathbf{n}_{\mathcal{L},\mathcal{L}^*}) \cdot \mathbf{n}_{\mathcal{K},\mathcal{L}} \right)}{\tilde{u}_{\mathcal{K}^*} C_{\mathcal{L}^*} + \tilde{u}_{\mathcal{L}^*} C_{\mathcal{K}^*}}.$$

$$\tau_{\mathcal{L},\sigma}(u^T) = - \frac{\left(\tilde{u}_{\mathcal{L}^*} (A \mathbf{n}_{\mathcal{K},\mathcal{K}^*}) \cdot \mathbf{n}_{\mathcal{K},\mathcal{L}} + \tilde{u}_{\mathcal{K}^*} (A \mathbf{n}_{\mathcal{K},\mathcal{L}^*}) \cdot \mathbf{n}_{\mathcal{K},\mathcal{L}} \right)}{\tilde{u}_{\mathcal{K}^*} C_{\mathcal{L}^*} + \tilde{u}_{\mathcal{L}^*} C_{\mathcal{K}^*}}.$$

BILAN :

(Le Potier '05) (Lipnikov et al '07)

- Le flux numérique s'écrit comme un flux à deux points non-linéaire

$$F_{\mathcal{K},\mathcal{L}} = \tau_{\mathcal{K},\sigma}(u^T) |\sigma| \mathbf{u}_{\mathcal{K}} - \tau_{\mathcal{L},\sigma}(u^T) |\sigma| \mathbf{u}_{\mathcal{L}},$$

avec

$$\tau_{\mathcal{K},\sigma}(u^T) = \frac{\left(\tilde{u}_{\mathcal{L}^*} (A \mathbf{n}_{\mathcal{L},\mathcal{K}^*}) \cdot \mathbf{n}_{\mathcal{K},\mathcal{L}} + \tilde{u}_{\mathcal{K}^*} (A \mathbf{n}_{\mathcal{L},\mathcal{L}^*}) \cdot \mathbf{n}_{\mathcal{K},\mathcal{L}} \right)}{\tilde{u}_{\mathcal{K}^*} C_{\mathcal{L}^*} + \tilde{u}_{\mathcal{L}^*} C_{\mathcal{K}^*}}.$$

$$\tau_{\mathcal{L},\sigma}(u^T) = - \frac{\left(\tilde{u}_{\mathcal{L}^*} (A \mathbf{n}_{\mathcal{K},\mathcal{K}^*}) \cdot \mathbf{n}_{\mathcal{K},\mathcal{L}} + \tilde{u}_{\mathcal{K}^*} (A \mathbf{n}_{\mathcal{K},\mathcal{L}^*}) \cdot \mathbf{n}_{\mathcal{K},\mathcal{L}} \right)}{\tilde{u}_{\mathcal{K}^*} C_{\mathcal{L}^*} + \tilde{u}_{\mathcal{L}^*} C_{\mathcal{K}^*}}.$$

- Il faut maintenant montrer que sous de bonnes hypothèses on a

$$u^T \geq 0 \implies \tau_{\mathcal{K},\sigma}(u^T) \geq 0, \quad \text{et} \quad \tau_{\mathcal{L},\sigma}(u^T) \geq 0.$$

BILAN :

(Le Potier '05) (Lipnikov et al '07)

- Le flux numérique s'écrit comme un flux à deux points non-linéaire

$$F_{\mathcal{K},\mathcal{L}} = \tau_{\mathcal{K},\sigma}(u^T)|\sigma| \mathbf{u}_{\mathcal{K}} - \tau_{\mathcal{L},\sigma}(u^T)|\sigma| \mathbf{u}_{\mathcal{L}},$$

avec

$$\tau_{\mathcal{K},\sigma}(u^T) = \frac{\left(\tilde{u}_{\mathcal{L}^*}(\mathbf{A}\mathbf{n}_{\mathcal{L},\mathcal{K}^*}) \cdot \mathbf{n}_{\mathcal{K},\mathcal{L}} + \tilde{u}_{\mathcal{K}^*}(\mathbf{A}\mathbf{n}_{\mathcal{L},\mathcal{L}^*}) \cdot \mathbf{n}_{\mathcal{K},\mathcal{L}} \right)}{\tilde{u}_{\mathcal{K}^*}C_{\mathcal{L}^*} + \tilde{u}_{\mathcal{L}^*}C_{\mathcal{K}^*}},$$

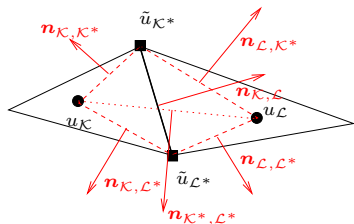
$$\tau_{\mathcal{L},\sigma}(u^T) = -\frac{\left(\tilde{u}_{\mathcal{L}^*}(\mathbf{A}\mathbf{n}_{\mathcal{K},\mathcal{K}^*}) \cdot \mathbf{n}_{\mathcal{K},\mathcal{L}} + \tilde{u}_{\mathcal{K}^*}(\mathbf{A}\mathbf{n}_{\mathcal{K},\mathcal{L}^*}) \cdot \mathbf{n}_{\mathcal{K},\mathcal{L}} \right)}{\tilde{u}_{\mathcal{K}^*}C_{\mathcal{L}^*} + \tilde{u}_{\mathcal{L}^*}C_{\mathcal{K}^*}}.$$

- Il faut maintenant montrer que sous de bonnes hypothèses on a

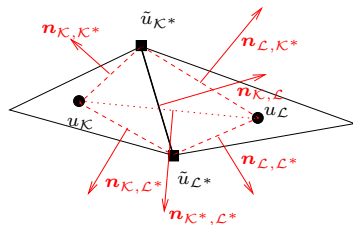
$$(\mathbf{A}\mathbf{n}_{\mathcal{L},\mathcal{K}^*}) \cdot \mathbf{n}_{\mathcal{K},\mathcal{L}} \geq 0, \quad (\mathbf{A}\mathbf{n}_{\mathcal{L},\mathcal{L}^*}) \cdot \mathbf{n}_{\mathcal{K},\mathcal{L}} \geq 0,$$

$$(\mathbf{A}\mathbf{n}_{\mathcal{K},\mathcal{K}^*}) \cdot \mathbf{n}_{\mathcal{K},\mathcal{L}} \leq 0, \quad (\mathbf{A}\mathbf{n}_{\mathcal{K},\mathcal{L}^*}) \cdot \mathbf{n}_{\mathcal{K},\mathcal{L}} \leq 0.$$

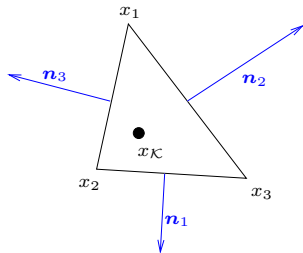
Pour cela, on montre qu'il existe un bon choix des centres $x_{\mathcal{K}}$.



On veut
$$\begin{cases} (An_{L,K^*}) \cdot n_{K,L} \geq 0, & (An_{L,L^*}) \cdot n_{K,L} \geq 0, \\ (An_{K,K^*}) \cdot n_{K,L} \leq 0, & (An_{K,L^*}) \cdot n_{K,L} \leq 0. \end{cases}$$



On veut
$$\begin{cases} (An_{L,K^*}) \cdot n_{K,L} \geq 0, & (An_{L,L^*}) \cdot n_{K,L} \geq 0, \\ (An_{K,K^*}) \cdot n_{K,L} \leq 0, & (An_{K,L^*}) \cdot n_{K,L} \leq 0. \end{cases}$$



Un choix convenable :

$$x_K = \frac{\|n_1\|_A x_1 + \|n_2\|_A x_2 + \|n_3\|_A x_3}{\|n_1\|_A + \|n_2\|_A + \|n_3\|_A},$$

avec

$$\|\xi\|_A = \sqrt{A\xi \cdot \xi}, \quad \forall \xi \in \mathbb{R}^2.$$

PROPRIÉTÉS

- L'existence d'une solution au problème non-linéaire n'est pas prouvée.
- Pas de résultat de convergence.

PROPRIÉTÉS

- L'existence d'une solution au problème non-linéaire n'est pas prouvée.
- Pas de résultat de convergence.
- En pratique, on résout le problème par une méthode itérative qui **préserve la positivité au cours des itérations**.
- Le système linéaire à résoudre change à chaque itération et n'est pas symétrique.

PROPRIÉTÉS

- L'existence d'une solution au problème non-linéaire n'est pas prouvée.
- Pas de résultat de convergence.
- En pratique, on résout le problème par une méthode itérative qui **préserve la positivité au cours des itérations**.
- Le système linéaire à résoudre change à chaque itération et n'est pas symétrique.
- Le principe du schéma se généralise (difficilement) à des maillages polygonaux seulement dans le cas où
 - $A(x)$ est isotrope.
 - Le maillage est régulier et les volumes de contrôle sont étoilés.

1 QUELQUES GRANDES CLASSES DE MÉTHODES

- Schémas MPFA
- Schémas diamants
- Schémas VF monotones non-linéaires
- **Schémas DDFV**
- Schémas mimétiques
- Schémas VF mixtes
- Schémas SUCCES / SUSHI

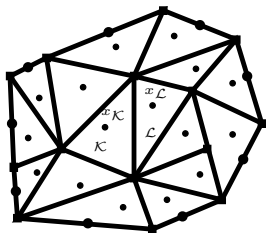
2 COMPARAISONS : BENCHMARK FVCA 5

- Test 1 : Anisotropie modérée
- Test 3 : Ecoulement oblique
- Test 4 : Faille verticale
- Test 5 : Anisotropie tournante hétérogène
- Test 8 : Source ponctuelle

3 BILAN

(Hermeline '00) (Domelevo-Omnes '05) (Andreianov-Boyer-Hubert '07)

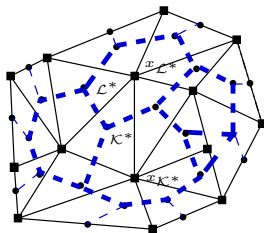
MAILLAGES



\triangle mesh \mathfrak{M}

Maillage primal

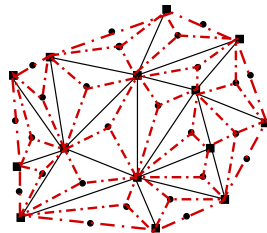
$$\rightsquigarrow (u_{\mathcal{K}})_{\mathcal{K} \in \mathfrak{M}}$$



\dashv mesh \mathfrak{M}^*

Maillage dual

$$\rightsquigarrow (u_{\mathcal{K}^*})_{\mathcal{K}^* \in \mathfrak{M}^*}$$



\square mesh \mathfrak{D}

Maillage diamant

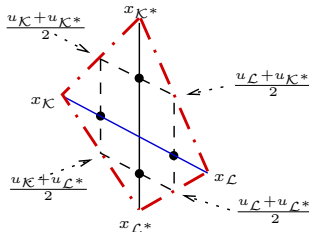
$$\rightsquigarrow \text{gradient discret}$$

SOLUTION APPROCHÉE :

$$u^T = \left((u_{\mathcal{K}})_{\mathcal{K}}, (u_{\mathcal{K}^*})_{\mathcal{K}^*} \right)$$

GRADIENT DISCRET

$$\nabla_{\mathcal{D}}^T u^T = \frac{1}{\sin \alpha_{\mathcal{D}}} \left(\frac{u_{\mathcal{L}} - u_{\mathcal{K}}}{|\sigma^*|} \nu_{\mathcal{K}\mathcal{L}} + \frac{u_{\mathcal{L}^*} - u_{\mathcal{K}^*}}{|\sigma|} \nu_{\mathcal{K}^*\mathcal{L}^*} \right), \quad \forall \text{ diamant } \mathcal{D}.$$



Définition équivalente

$$\begin{cases} \nabla_{\mathcal{D}}^T u^T \cdot (x_{\mathcal{L}} - x_{\mathcal{K}}) = u_{\mathcal{L}} - u_{\mathcal{K}}, \\ \nabla_{\mathcal{D}}^T u^T \cdot (x_{\mathcal{L}^*} - x_{\mathcal{K}^*}) = u_{\mathcal{L}^*} - u_{\mathcal{K}^*}. \end{cases}$$

GRADIENT DISCRET

$$\nabla_{\mathcal{D}}^T u^T = \frac{1}{\sin \alpha_{\mathcal{D}}} \left(\frac{u_{\mathcal{L}} - u_{\mathcal{K}}}{|\sigma^*|} \boldsymbol{\nu}_{\mathcal{K}\mathcal{L}} + \frac{u_{\mathcal{L}^*} - u_{\mathcal{K}^*}}{|\sigma|} \boldsymbol{\nu}_{\mathcal{K}^*\mathcal{L}^*} \right), \quad \forall \text{ diamant } \mathcal{D}.$$

MÉTHODE DDFV

Formulation Volumes Finis :

$$\begin{aligned} & - \sum_{\sigma \in \mathcal{E}_{\mathcal{K}}} |\sigma| (A_{\mathcal{D}} \nabla_{\mathcal{D}}^T u^T, \boldsymbol{\nu}_{\mathcal{K}}) = |\mathcal{K}| f_{\mathcal{K}}, \quad \forall \mathcal{K} \in \mathfrak{M}, \\ & - \sum_{\sigma^* \in \mathcal{E}_{\mathcal{K}^*}} |\sigma^*| (A_{\mathcal{D}} \nabla_{\mathcal{D}}^T u^T, \boldsymbol{\nu}_{\mathcal{K}^*}) = |\mathcal{K}^*| f_{\mathcal{K}^*}, \quad \forall \mathcal{K}^* \in \mathfrak{M}^*, \end{aligned}$$

où, par exemple, on prend un tenseur de diffusion approché sur le diamant par

$$A_{\mathcal{D}} \stackrel{\text{def}}{=} \frac{1}{|\mathcal{D}|} \int_{\mathcal{D}} A(x) dx.$$

GRADIENT DISCRET

$$\nabla_{\mathcal{D}}^T u^T = \frac{1}{\sin \alpha_{\mathcal{D}}} \left(\frac{u_{\mathcal{L}} - u_{\mathcal{K}}}{|\sigma^*|} \boldsymbol{\nu}_{\mathcal{K}\mathcal{L}} + \frac{u_{\mathcal{L}^*} - u_{\mathcal{K}^*}}{|\sigma|} \boldsymbol{\nu}_{\mathcal{K}^*\mathcal{L}^*} \right), \quad \forall \text{ diamant } \mathcal{D}.$$

MÉTHODE DDFV

Formulation équivalente (**Dualité Discrète**) :

$$2 \sum_{\mathcal{D} \in \mathfrak{D}} |\mathcal{D}| (A_{\mathcal{D}} \nabla_{\mathcal{D}}^T u^T, \nabla_{\mathcal{D}}^T v^T) = \int_{\Omega} f v^{\mathfrak{m}} dx + \int_{\Omega} f v^{\mathfrak{m}^*} dx, \quad \forall v^T \in \mathbb{R}^T.$$

GRADIENT DISCRET

$$\nabla_{\mathcal{D}}^T u^T = \frac{1}{\sin \alpha_{\mathcal{D}}} \left(\frac{u_{\mathcal{L}} - u_{\mathcal{K}}}{|\sigma^*|} \nu_{\mathcal{K}\mathcal{L}} + \frac{u_{\mathcal{L}^*} - u_{\mathcal{K}^*}}{|\sigma|} \nu_{\mathcal{K}^*\mathcal{L}^*} \right), \quad \forall \text{ diamant } \mathcal{D}.$$

MÉTHODE DDFV

Formulation équivalente (**Dualité Discrète**) :

$$2 \sum_{\mathcal{D} \in \mathfrak{D}} |\mathcal{D}| (A_{\mathcal{D}} \nabla_{\mathcal{D}}^T u^T, \nabla_{\mathcal{D}}^T v^T) = \int_{\Omega} f v^{\mathfrak{m}} dx + \int_{\Omega} f v^{\mathfrak{m}^*} dx, \quad \forall v^T \in \mathbb{R}^T.$$

PROPRIÉTÉS

- Nombre d'inconnues = nombre de cellules + nombre de sommets.
- La monotonie et la coercivité de l'opérateur sont préservées.
- Existence et unicité de la solution approchée.
- Convergence dans le cas général et estimation d'erreur dans le cas régulier en $O(\text{size}(\mathcal{T}))$ pour u et ∇u .
- Prise en compte des coeffs discontinus \Rightarrow m-DDFV (**partie 3**)

1 QUELQUES GRANDES CLASSES DE MÉTHODES

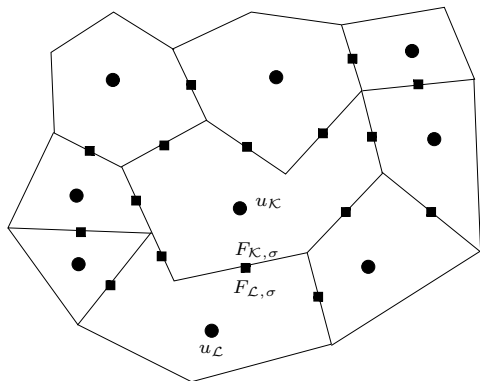
- Schémas MPFA
- Schémas diamants
- Schémas VF monotones non-linéaires
- Schémas DDFV
- **Schémas mimétiques**
- Schémas VF mixtes
- Schémas SUCCES / SUSHI

2 COMPARAISONS : BENCHMARK FVCA 5

- Test 1 : Anisotropie modérée
- Test 3 : Ecoulement oblique
- Test 4 : Faille verticale
- Test 5 : Anisotropie tournante hétérogène
- Test 8 : Source ponctuelle

3 BILAN

(Lipnikov et al '05 \rightarrow '08) (Manzini '08)



- Une inconnue scalaire u_κ sur chaque volume de contrôle $\kappa \in \mathcal{T}$.
- Deux inconnues **scalaires** de flux $F_{\kappa,\sigma}$ et $F_{\mathcal{L},\sigma}$ sur chaque arête $\sigma \in \mathcal{E}$.
- Elles sont liées par la relation de conservativité

$$F_{\kappa,\sigma} + F_{\mathcal{L},\sigma} = 0.$$

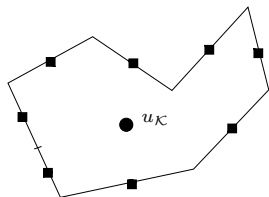
- On note $\mathbb{R}^{\mathcal{T}}$ (resp. $\mathbb{R}^{\mathcal{E}}$) l'ensemble des inconnues aux centres (resp. aux arêtes).

PRINCIPE : Se baser sur la formule de Green

$$\int_{\mathcal{K}} A_{\mathcal{K}}^{-1}(A_{\mathcal{K}}\nabla u) \cdot \xi \, dx + \int_{\mathcal{K}} u(\operatorname{div} \xi) \, dx = \int_{\partial\mathcal{K}} u(\xi \cdot \nu) \, ds.$$

- Si $F \in \mathbb{R}^{\mathcal{E}}$, on définit la div. discrète

$$\operatorname{div}^{\mathcal{K}} F = \frac{1}{|\mathcal{K}|} \sum_{\sigma \in \mathcal{E}_{\mathcal{K}}} \underbrace{|\sigma| F_{\mathcal{K},\sigma}}_{\text{chgt de notation}}$$



- On se donne un “produit scalaire” $(\cdot, \cdot)_{A^{-1}, \mathcal{K}}$ sur l’ens. des \blacksquare qui approche $\int_{\mathcal{K}} A_{\mathcal{K}}^{-1} F \cdot G \, dx.$

SCHÉMAS MIMÉTIQUES POUR $-\operatorname{div}(A(x)\nabla\cdot)$

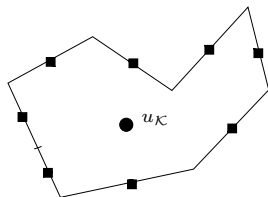
PRINCIPE : Se baser sur la formule de Green

$$\int_{\mathcal{K}} A_{\mathcal{K}}^{-1}(A_{\mathcal{K}}\nabla u) \cdot \xi \, dx + \int_{\mathcal{K}} u(\operatorname{div} \xi) \, dx = \int_{\partial\mathcal{K}} u(\xi \cdot \nu) \, ds.$$

- Si $F \in \mathbb{R}^{\mathcal{E}}$, on définit la div. discrète

$$\operatorname{div}^{\mathcal{K}} F = \frac{1}{|\mathcal{K}|} \sum_{\sigma \in \mathcal{E}_{\mathcal{K}}} \underbrace{|\sigma| F_{\mathcal{K},\sigma}}_{\text{chgt de notation}}$$

 **chgt de notation**



- On se donne un “produit scalaire” $(\cdot, \cdot)_{A^{-1},\mathcal{K}}$ sur l'ens. des \blacksquare qui approche

$$\int_{\mathcal{K}} A_{\mathcal{K}}^{-1} F \cdot G \, dx.$$

HYPOTHÈSES

Coercivité : $\underline{C}|\mathcal{K}| \sum_{\sigma \in \mathcal{E}_{\mathcal{K}}} |F_{\mathcal{K},\sigma}|^2 \leq (F, F)_{A^{-1},\mathcal{K}} \leq \overline{C}|\mathcal{K}| \sum_{\sigma \in \mathcal{E}_{\mathcal{K}}} |F_{\mathcal{K},\sigma}|^2, \quad \forall \mathcal{K},$

Consistance : $((A_{\mathcal{K}}\nabla\varphi), G)_{A^{-1},\mathcal{K}} + \int_{\mathcal{K}} \varphi \operatorname{div}^{\mathcal{K}} G \, dx = \sum_{\sigma \in \mathcal{E}_{\mathcal{K}}} G_{\mathcal{K},\sigma} \left(\int_{\sigma} \varphi \right), \quad \forall \mathcal{K}, \forall G \in \mathbb{R}^{\mathcal{E}}, \forall \varphi \text{ affine.}$

PRODUITS SCALAIRES GLOBAUX

$$(F, G)_{A^{-1}} = \sum_{\mathcal{K}} (F, G)_{A^{-1}, \mathcal{K}},$$

$$(u, v) = \sum_{\mathcal{K}} |\mathcal{K}| u_{\mathcal{K}} v_{\mathcal{K}},$$

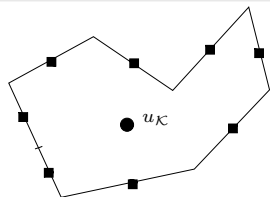
OPERATEUR FLUX APPROCHÉ : $\Phi : u \in \mathbb{R}^T \mapsto \Phi u \in \mathbb{R}^{\mathcal{E}} \approx (A\nabla u) \cdot \nu$

$$(G, \Phi u)_{A^{-1}} = -(u, \operatorname{div}^{\mathcal{K}} G), \quad \forall u \in \mathbb{R}_0^T, \forall G \in \mathbb{R}^{\mathcal{E}}.$$

Le schéma s'écrit alors :

$$-\operatorname{div}^{\mathcal{K}}(\Phi u) = f_{\mathcal{K}}, \quad \forall \mathcal{K}.$$

Tout se ramène à construire un p.s. $(\cdot, \cdot)_{A^{-1}, \mathcal{K}}$ convenable vérifiant les hypothèses de consistance et coercivité



ON CHERCHE

$$(F, G)_{A^{-1}, \mathcal{K}} \stackrel{\text{def}}{=} {}^t \left(F_{\mathcal{K}, \sigma} \right)_{\sigma} M_{\mathcal{K}} \left(G_{\mathcal{K}, \sigma} \right)_{\sigma},$$

avec $M_{\mathcal{K}}$ SDP de taille $m \times m$.

DÉFINITIONS

$$R_{\mathcal{K}} = \begin{pmatrix} |\sigma_1| {}^t(x_{\sigma_1} - x_{\mathcal{K}}) \\ \vdots \\ |\sigma_m| {}^t(x_{\sigma_m} - x_{\mathcal{K}}) \end{pmatrix}, \quad N_{\mathcal{K}} = \begin{pmatrix} {}^t\nu_{\sigma_1} \\ \vdots \\ {}^t\nu_{\sigma_m} \end{pmatrix} A_{\mathcal{K}}, \quad \text{de taille } m \times 2,$$

PROPOSITION

La condition de consistance est équivalente à

$$M_{\mathcal{K}} N_{\mathcal{K}} = R_{\mathcal{K}} \iff M_{\mathcal{K}} = \frac{1}{|\mathcal{K}|} R_{\mathcal{K}} A_{\mathcal{K}}^{-1} {}^t R_{\mathcal{K}} + C_{\mathcal{K}} U_{\mathcal{K}} {}^t C_{\mathcal{K}},$$

où $C_{\mathcal{K}}$ de taille $m \times (m-2)$ est telle que ${}^t C_{\mathcal{K}} N_{\mathcal{K}} = 0$ et $U_{\mathcal{K}}$ est une matrice SDP quelconque de taille $m-2$.

► Preuve

PROPRIÉTÉS

- Les mailles doivent être étoilées par rapport à leur barycentre.
- Le nombre total d'inconnues est égal au nombre d'éléments + le nombre d'arêtes.
- Le système linéaire à résoudre est de type point-selle.

PROPRIÉTÉS

- Les mailles doivent être étoilées par rapport à leur barycentre.
- Le nombre total d'inconnues est égal au nombre d'éléments + le nombre d'arêtes.
- Le système linéaire à résoudre est de type point-selle.

- On peut voir ces schémas comme une généralisation des éléments finis mixtes associés à des formules de quadrature bien choisies.

PROPRIÉTÉS

- Les mailles doivent être étoilées par rapport à leur barycentre.
- Le nombre total d'inconnues est égal au nombre d'éléments + le nombre d'arêtes.
- Le système linéaire à résoudre est de type point-selle.
- On peut voir ces schémas comme une généralisation des éléments finis mixtes associés à des formules de quadrature bien choisies.
- Sous de bonnes hypothèses de régularité, on peut montrer la convergence à l'ordre 2 en norme L^2 et à l'ordre 1 en norme H^1 .
- Pas encore d'estimations d'erreurs dans le cas de coefficients discontinus.

1 QUELQUES GRANDES CLASSES DE MÉTHODES

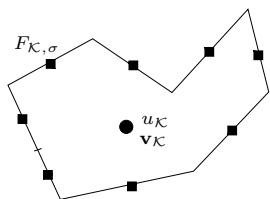
- Schémas MPFA
- Schémas diamants
- Schémas VF monotones non-linéaires
- Schémas DDFV
- Schémas mimétiques
- Schémas VF mixtes
- Schémas SUCCES / SUSHI

2 COMPARAISONS : BENCHMARK FVCA 5

- Test 1 : Anisotropie modérée
- Test 3 : Ecoulement oblique
- Test 4 : Faille verticale
- Test 5 : Anisotropie tournante hétérogène
- Test 8 : Source ponctuelle

3 BILAN

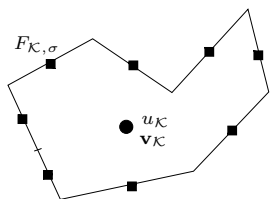
(Droniou-Eymard '06) (Droniou '07)



- Une inconnue scalaire $u_{\mathcal{K}}$ sur chaque $\mathcal{K} \in \mathcal{T}$.
- Une inconnue vectorielle $\mathbf{v}_{\mathcal{K}}$ sur chaque $\mathcal{K} \in \mathcal{T}$.
- Deux inconnues **scalaires** de flux $F_{\mathcal{K},\sigma}$ et $F_{\mathcal{L},\sigma}$ sur chaque arête $\sigma \in \mathcal{E}$.
- Elles sont liées par la relation de conservativité

$$F_{\mathcal{K},\sigma} + F_{\mathcal{L},\sigma} = 0.$$

(Droniou-Eymard '06) (Droniou '07)



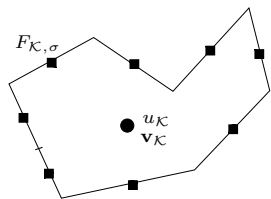
- Une inconnue scalaire u_κ sur chaque $\kappa \in \mathcal{T}$.
- Une inconnue vectorielle \mathbf{v}_κ sur chaque $\kappa \in \mathcal{T}$.
- Deux inconnues **scalaires** de flux $F_{\kappa,\sigma}$ et $F_{\mathcal{L},\sigma}$ sur chaque arête $\sigma \in \mathcal{E}$.
- Elles sont liées par la relation de conservativité

$$F_{\kappa,\sigma} + F_{\mathcal{L},\sigma} = 0.$$

- Continuité de l'approximation au barycentre x_σ de σ :

$$u_\kappa + \mathbf{v}_\kappa \cdot (x_\sigma - x_\kappa) - \nu_\kappa |\kappa| F_{\kappa,\sigma} = u_\mathcal{L} + \mathbf{v}_\mathcal{L} \cdot (x_\sigma - x_\mathcal{L}) - \nu_\mathcal{L} |\mathcal{L}| F_{\mathcal{L},\sigma}.$$

(Droniou-Eymard '06) (Droniou '07)



- Une inconnue scalaire u_κ sur chaque $\kappa \in \mathcal{T}$.
- Une inconnue vectorielle \mathbf{v}_κ sur chaque $\kappa \in \mathcal{T}$.
- Deux inconnues **scalaires** de flux $F_{\kappa,\sigma}$ et $F_{\mathcal{L},\sigma}$ sur chaque arête $\sigma \in \mathcal{E}$.
- Elles sont liées par la relation de conservativité

$$F_{\kappa,\sigma} + F_{\mathcal{L},\sigma} = 0.$$

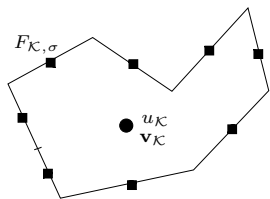
- Continuité de l'approximation au barycentre x_σ de σ :

$$u_\kappa + \mathbf{v}_\kappa \cdot (x_\sigma - x_\kappa) - \nu_\kappa |\kappa| F_{\kappa,\sigma} = u_{\mathcal{L}} + \mathbf{v}_{\mathcal{L}} \cdot (x_\sigma - x_{\mathcal{L}}) - \nu_{\mathcal{L}} |\mathcal{L}| F_{\mathcal{L},\sigma}.$$

- Formule de "géométrie"

$$|\kappa| \xi = \underbrace{\int_\kappa \operatorname{div} \left((x - x_\kappa) \otimes \xi \right) dx}_{=\xi} = \int_{\partial\kappa} (\xi \cdot \boldsymbol{\nu})(x - x_\kappa) dx, \quad \forall \xi \in \mathbb{R}^2.$$

(Droniou-Eymard '06) (Droniou '07)



- Une inconnue scalaire $u_{\mathcal{K}}$ sur chaque $\mathcal{K} \in \mathcal{T}$.
- Une inconnue vectorielle $\mathbf{v}_{\mathcal{K}}$ sur chaque $\mathcal{K} \in \mathcal{T}$.
- Deux inconnues **scalaires** de flux $F_{\mathcal{K},\sigma}$ et $F_{\mathcal{L},\sigma}$ sur chaque arête $\sigma \in \mathcal{E}$.
- Elles sont liées par la relation de conservativité

$$F_{\mathcal{K},\sigma} + F_{\mathcal{L},\sigma} = 0.$$

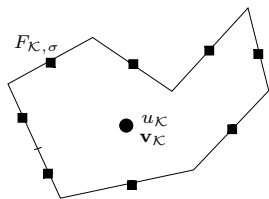
- Continuité de l'approximation au barycentre x_{σ} de σ :

$$u_{\mathcal{K}} + \mathbf{v}_{\mathcal{K}} \cdot (x_{\sigma} - x_{\mathcal{K}}) - \nu_{\mathcal{K}} |\mathcal{K}| F_{\mathcal{K},\sigma} = u_{\mathcal{L}} + \mathbf{v}_{\mathcal{L}} \cdot (x_{\sigma} - x_{\mathcal{L}}) - \nu_{\mathcal{L}} |\mathcal{L}| F_{\mathcal{L},\sigma}.$$

- Formule de "géométrie"

$$|\mathcal{K}| \xi = \sum_{\sigma \in \mathcal{E}_{\mathcal{K}}} |\sigma| (\xi \cdot \nu_{\mathcal{K},\sigma}) (x_{\sigma} - x_{\mathcal{K}}), \quad \forall \xi \in \mathbb{R}^2.$$

(Droniou-Eymard '06) (Droniou '07)



- Une inconnue scalaire $u_{\mathcal{K}}$ sur chaque $\mathcal{K} \in \mathcal{T}$.
- Une inconnue vectorielle $\mathbf{v}_{\mathcal{K}}$ sur chaque $\mathcal{K} \in \mathcal{T}$.
- Deux inconnues **scalaires** de flux $F_{\mathcal{K},\sigma}$ et $F_{\mathcal{L},\sigma}$ sur chaque arête $\sigma \in \mathcal{E}$.
- Elles sont liées par la relation de conservativité

$$F_{\mathcal{K},\sigma} + F_{\mathcal{L},\sigma} = 0.$$

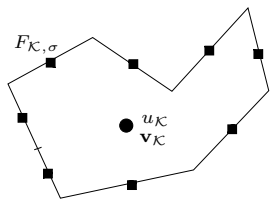
- Continuité de l'approximation au barycentre x_{σ} de σ :

$$u_{\mathcal{K}} + \mathbf{v}_{\mathcal{K}} \cdot (x_{\sigma} - x_{\mathcal{K}}) - \nu_{\mathcal{K}} |\mathcal{K}| F_{\mathcal{K},\sigma} = u_{\mathcal{L}} + \mathbf{v}_{\mathcal{L}} \cdot (x_{\sigma} - x_{\mathcal{L}}) - \nu_{\mathcal{L}} |\mathcal{L}| F_{\mathcal{L},\sigma}.$$

- Formule de "géométrie"

$$|\mathcal{K}| A_{\mathcal{K}} \mathbf{v}_{\mathcal{K}} = - \sum_{\sigma \in \mathcal{E}_{\mathcal{K}}} F_{\mathcal{K},\sigma} (x_{\sigma} - x_{\mathcal{K}}).$$

(Droniou-Eymard '06) (Droniou '07)



- Une inconnue scalaire $u_{\mathcal{K}}$ sur chaque $\mathcal{K} \in \mathcal{T}$.
- Une inconnue vectorielle $\mathbf{v}_{\mathcal{K}}$ sur chaque $\mathcal{K} \in \mathcal{T}$.
- Deux inconnues **scalaires** de flux $F_{\mathcal{K},\sigma}$ et $F_{\mathcal{L},\sigma}$ sur chaque arête $\sigma \in \mathcal{E}$.
- Elles sont liées par la relation de conservativité

$$F_{\mathcal{K},\sigma} + F_{\mathcal{L},\sigma} = 0.$$

- Continuité de l'approximation au barycentre x_{σ} de σ :

$$u_{\mathcal{K}} + \mathbf{v}_{\mathcal{K}} \cdot (x_{\sigma} - x_{\mathcal{K}}) - \nu_{\mathcal{K}} |\mathcal{K}| F_{\mathcal{K},\sigma} = u_{\mathcal{L}} + \mathbf{v}_{\mathcal{L}} \cdot (x_{\sigma} - x_{\mathcal{L}}) - \nu_{\mathcal{L}} |\mathcal{L}| F_{\mathcal{L},\sigma}.$$

- Formule de "géométrie"

$$|\mathcal{K}| A_{\mathcal{K}} \mathbf{v}_{\mathcal{K}} = - \sum_{\sigma \in \mathcal{E}_{\mathcal{K}}} F_{\mathcal{K},\sigma} (x_{\sigma} - x_{\mathcal{K}}).$$

- Bilan des flux $\sum_{\sigma \in \mathcal{E}_{\mathcal{K}}} F_{\mathcal{K},\sigma} = |\mathcal{K}| f_{\mathcal{K}}$.

(Droniou-Eymard '06) (Droniou '07)

PROPRIÉTÉS

- On a 3 inconnues scalaires par volume de contrôle et deux inconnues scalaires (en réalité une seule) par arête.
- Sur maillage simplicial, le problème est bien posé sans le terme de pénalisation.
- Le schéma s'adapte sans grandes différences au cas non linéaire $-\operatorname{div}(\varphi(x, \nabla u)) = f$.

(Droniou-Eymard '06) (Droniou '07)

PROPRIÉTÉS

- On a 3 inconnues scalaires par volume de contrôle et deux inconnues scalaires (en réalité une seule) par arête.
- Sur maillage simplicial, le problème est bien posé sans le terme de pénalisation.
- Le schéma s'adapte sans grandes différences au cas non linéaire $-\operatorname{div}(\varphi(x, \nabla u)) = f$.
- Résultat de convergence de la solution $u^{\mathcal{T}} = (u_{\mathcal{K}})_{\mathcal{K}}$ et du gradient $\mathbf{v}^{\mathcal{T}} = (\mathbf{v}_{\mathcal{K}})_{\mathcal{K}}$, pour un maillage quelconque et des données peu régulières.

(Droniou-Eymard '06) (Droniou '07)

PROPRIÉTÉS

- On a 3 inconnues scalaires par volume de contrôle et deux inconnues scalaires (en réalité une seule) par arête.
- Sur maillage simplicial, le problème est bien posé sans le terme de pénalisation.
- Le schéma s'adapte sans grandes différences au cas non linéaire $-\operatorname{div}(\varphi(x, \nabla u)) = f$.
- Résultat de convergence de la solution $u^T = (u_\kappa)_\kappa$ et du gradient $\mathbf{v}^T = (\mathbf{v}_\kappa)_\kappa$, pour un maillage quelconque et des données peu régulières.
 - Inégalité de Poincaré. [▶ Preuve](#)
 - Estimation *a priori*. [▶ Preuve](#)
 - Compacité.
 - Convergence.

(Droniou-Eymard '06) (Droniou '07)

PROPRIÉTÉS

- On a 3 inconnues scalaires par volume de contrôle et deux inconnues scalaires (en réalité une seule) par arête.
- Sur maillage simplicial, le problème est bien posé sans le terme de pénalisation.
- Le schéma s'adapte sans grandes différences au cas non linéaire $-\operatorname{div}(\varphi(x, \nabla u)) = f$.
- Résultat de convergence de la solution $u^{\mathcal{T}} = (u_{\mathcal{K}})_{\mathcal{K}}$ et du gradient $\mathbf{v}^{\mathcal{T}} = (\mathbf{v}_{\mathcal{K}})_{\mathcal{K}}$, pour un maillage quelconque et des données peu régulières.
- Sous des hypothèses de régularité de la solution et des coefficients du problème :
 - Maillages généraux : Estimation d'erreur théorique en $O(\sqrt{\operatorname{size}(\mathcal{T})})$ pour la solution et son gradient.
 - Maillages simpliciaux : Estimation en $O(\operatorname{size}(\mathcal{T}))$.

(Droniou-Eymard '06) (Droniou '07)

IMPLÉMENTATION

- Initialement, le nombre d'inconnues est important.
- Le système linéaire n'a pas de structure simple.

(Droniou-Eymard '06) (Droniou '07)

IMPLÉMENTATION

- Initialement, le nombre d'inconnues est important.
- Le système linéaire n'a pas de structure simple.

HYBRIDATION (CAS LINÉAIRE)

But : Ramener le problème à un système SDP plus petit.

- On définit une inconnue scalaire par arête par

$$u_\sigma \stackrel{\text{def}}{=} u_\kappa + \mathbf{v}_\kappa \cdot (x_\kappa - x_\sigma) - \nu_\kappa |\kappa| F_{\kappa,\sigma} = u_\mathcal{L} + \mathbf{v}_\mathcal{L} \cdot (x_\mathcal{L} - x_\sigma) - \nu_\mathcal{L} |\mathcal{L}| F_{\mathcal{L},\sigma}.$$

- On utilise

$$\mathbf{v}_\kappa = -\frac{1}{|\kappa|} \sum_{\sigma \in \mathcal{E}_\kappa} F_{\kappa,\sigma} A_\kappa^{-1} (x_\sigma - x_\kappa).$$

- D'où $(u_\sigma - u_\kappa)_{\sigma \in \mathcal{E}_\kappa} = B_\kappa (F_{\kappa,\sigma})_{\sigma \in \mathcal{E}_\kappa}$,
où B_κ est S.D.P. et ne dépend que de la géométrie de κ et de ν_κ .

(Droniou-Eymard '06) (Droniou '07)

IMPLÉMENTATION

- Initialement, le nombre d'inconnues est important.
- Le système linéaire n'a pas de structure simple.

HYBRIDATION (CAS LINÉAIRE)

But : Ramener le problème à un système SDP plus petit.

- On définit une inconnue scalaire par arête par

$$u_\sigma \stackrel{\text{def}}{=} u_\kappa + \mathbf{v}_\kappa \cdot (x_\kappa - x_\sigma) - \nu_\kappa |\kappa| F_{\kappa,\sigma} = u_\mathcal{L} + \mathbf{v}_\mathcal{L} \cdot (x_\mathcal{L} - x_\sigma) - \nu_\mathcal{L} |\mathcal{L}| F_{\mathcal{L},\sigma}.$$

- On utilise

$$\mathbf{v}_\kappa = -\frac{1}{|\kappa|} \sum_{\sigma \in \mathcal{E}_\kappa} F_{\kappa,\sigma} A_\kappa^{-1} (x_\sigma - x_\kappa).$$

- D'où $(F_{\kappa,\sigma})_{\sigma \in \mathcal{E}_\kappa} = B_\kappa^{-1} (u_\sigma - u_\kappa)_{\sigma \in \mathcal{E}_\kappa}.$

(Droniou-Eymard '06) (Droniou '07)

IMPLÉMENTATION

- Initialement, le nombre d'inconnues est important.
- Le système linéaire n'a pas de structure simple.

HYBRIDATION (CAS LINÉAIRE)

But : Ramener le problème à un système SDP plus petit.

- On définit une inconnue scalaire par arête par

$$u_\sigma \stackrel{\text{def}}{=} u_\kappa + \mathbf{v}_\kappa \cdot (x_\kappa - x_\sigma) - \nu_\kappa |\kappa| F_{\kappa,\sigma} = u_\mathcal{L} + \mathbf{v}_\mathcal{L} \cdot (x_\mathcal{L} - x_\sigma) - \nu_\mathcal{L} |\mathcal{L}| F_{\mathcal{L},\sigma}.$$

- On utilise

$$\mathbf{v}_\kappa = -\frac{1}{|\kappa|} \sum_{\sigma \in \mathcal{E}_\kappa} F_{\kappa,\sigma} A_\kappa^{-1} (x_\sigma - x_\kappa).$$

- D'où $(F_{\kappa,\sigma})_{\sigma \in \mathcal{E}_\kappa} = B_\kappa^{-1} (u_\sigma - u_\kappa)_{\sigma \in \mathcal{E}_\kappa}$.
- Elimination de u_κ

$$\sum_{\sigma \in \mathcal{E}_\kappa} F_{\kappa,\sigma} = |\kappa| f_\kappa$$

(Droniou-Eymard '06) (Droniou '07)

IMPLÉMENTATION

- Initialement, le nombre d'inconnues est important.
- Le système linéaire n'a pas de structure simple.

HYBRIDATION (CAS LINÉAIRE)

But : Ramener le problème à un système SDP plus petit.

- On définit une inconnue scalaire par arête par

$$u_\sigma \stackrel{\text{def}}{=} u_\kappa + \mathbf{v}_\kappa \cdot (x_\kappa - x_\sigma) - \nu_\kappa |\kappa| F_{\kappa,\sigma} = u_\mathcal{L} + \mathbf{v}_\mathcal{L} \cdot (x_\mathcal{L} - x_\sigma) - \nu_\mathcal{L} |\mathcal{L}| F_{\mathcal{L},\sigma}.$$

- On utilise

$$\mathbf{v}_\kappa = -\frac{1}{|\kappa|} \sum_{\sigma \in \mathcal{E}_\kappa} F_{\kappa,\sigma} A_\kappa^{-1} (x_\sigma - x_\kappa).$$

- D'où $(F_{\kappa,\sigma})_{\sigma \in \mathcal{E}_\kappa} = B_\kappa^{-1} (u_\sigma - u_\kappa)_{\sigma \in \mathcal{E}_\kappa}$.
- Elimination de u_κ

$$\sum_{\sigma \in \mathcal{E}_\kappa} c_{\kappa,\sigma} (u_\sigma - u_\kappa) = |\kappa| f_\kappa$$

(Droniou-Eymard '06) (Droniou '07)

IMPLÉMENTATION

- Initialement, le nombre d'inconnues est important.
- Le système linéaire n'a pas de structure simple.

HYBRIDATION (CAS LINÉAIRE)

But : Ramener le problème à un système SDP plus petit.

- On définit une inconnue scalaire par arête par

$$u_\sigma \stackrel{\text{def}}{=} u_\kappa + \mathbf{v}_\kappa \cdot (x_\kappa - x_\sigma) - \nu_\kappa |\kappa| F_{\kappa,\sigma} = u_\mathcal{L} + \mathbf{v}_\mathcal{L} \cdot (x_\mathcal{L} - x_\sigma) - \nu_\mathcal{L} |\mathcal{L}| F_{\mathcal{L},\sigma}.$$

- On utilise

$$\mathbf{v}_\kappa = -\frac{1}{|\kappa|} \sum_{\sigma \in \mathcal{E}_\kappa} F_{\kappa,\sigma} A_\kappa^{-1} (x_\sigma - x_\kappa).$$

- D'où $(F_{\kappa,\sigma})_{\sigma \in \mathcal{E}_\kappa} = B_\kappa^{-1} (u_\sigma - u_\kappa)_{\sigma \in \mathcal{E}_\kappa}$.
- Elimination de $u_\kappa \Rightarrow u_\kappa = b_\kappa + \sum_{\sigma \in \mathcal{E}_\kappa} \tilde{c}_{\kappa,\sigma} u_\sigma$.

(Droniou-Eymard '06) (Droniou '07)

IMPLÉMENTATION

- Initialement, le nombre d'inconnues est important.
- Le système linéaire n'a pas de structure simple.

HYBRIDATION (CAS LINÉAIRE)

But : Ramener le problème à un système SDP plus petit.

- On définit une inconnue scalaire par arête par

$$u_\sigma \stackrel{\text{def}}{=} u_\kappa + \mathbf{v}_\kappa \cdot (x_\kappa - x_\sigma) - \nu_\kappa |\kappa| F_{\kappa,\sigma} = u_\mathcal{L} + \mathbf{v}_\mathcal{L} \cdot (x_\mathcal{L} - x_\sigma) - \nu_\mathcal{L} |\mathcal{L}| F_{\mathcal{L},\sigma}.$$

- On utilise

$$\mathbf{v}_\kappa = -\frac{1}{|\kappa|} \sum_{\sigma \in \mathcal{E}_\kappa} F_{\kappa,\sigma} A_\kappa^{-1} (x_\sigma - x_\kappa).$$

- D'où $(F_{\kappa,\sigma})_{\sigma \in \mathcal{E}_\kappa} = B_\kappa^{-1} (u_\sigma - u_\kappa)_{\sigma \in \mathcal{E}_\kappa}.$

- Elimination de $u_\kappa \Rightarrow u_\kappa = b_\kappa + \sum_{\sigma \in \mathcal{E}_\kappa} \tilde{c}_{\kappa,\sigma} u_\sigma.$

$$\Rightarrow (F_{\kappa,\sigma})_{\sigma \in \mathcal{E}_\kappa} = C_\kappa (u_\sigma - u_{\sigma'})_{\sigma,\sigma' \in \mathcal{E}_\kappa} + (G_{\kappa,\sigma})_{\sigma \in \mathcal{E}_\kappa}.$$

(Droniou-Eymard '06) (Droniou '07)

IMPLÉMENTATION

- Initialement, le nombre d'inconnues est important.
- Le système linéaire n'a pas de structure simple.

HYBRIDATION (CAS LINÉAIRE)

But : Ramener le problème à un système SDP plus petit.

- On définit une inconnue scalaire par arête par

$$u_\sigma \stackrel{\text{def}}{=} u_\kappa + \mathbf{v}_\kappa \cdot (x_\kappa - x_\sigma) - \nu_\kappa |\kappa| F_{\kappa,\sigma} = u_\mathcal{L} + \mathbf{v}_\mathcal{L} \cdot (x_\mathcal{L} - x_\sigma) - \nu_\mathcal{L} |\mathcal{L}| F_{\mathcal{L},\sigma}.$$

- On utilise

$$\mathbf{v}_\kappa = -\frac{1}{|\kappa|} \sum_{\sigma \in \mathcal{E}_\kappa} F_{\kappa,\sigma} A_\kappa^{-1} (x_\sigma - x_\kappa).$$

- D'où $(F_{\kappa,\sigma})_{\sigma \in \mathcal{E}_\kappa} = B_\kappa^{-1} (u_\sigma - u_\kappa)_{\sigma \in \mathcal{E}_\kappa}.$

- Elimination de $u_\kappa \Rightarrow u_\kappa = b_\kappa + \sum_{\sigma \in \mathcal{E}_\kappa} \tilde{c}_{\kappa,\sigma} u_\sigma.$

$$\Rightarrow (F_{\kappa,\sigma})_{\sigma \in \mathcal{E}_\kappa} = C_\kappa (u_\sigma - u_{\sigma'})_{\sigma,\sigma' \in \mathcal{E}_\kappa} + (G_{\kappa,\sigma})_{\sigma \in \mathcal{E}_\kappa}.$$

- $F_{\kappa,\sigma} + F_{\mathcal{L},\sigma} = 0 \Rightarrow$ Une équation par arête liant les $(u_\sigma)_\sigma.$

1 QUELQUES GRANDES CLASSES DE MÉTHODES

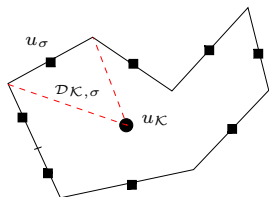
- Schémas MPFA
- Schémas diamants
- Schémas VF monotones non-linéaires
- Schémas DDFV
- Schémas mimétiques
- Schémas VF mixtes
- Schémas SUCCES / SUSHI

2 COMPARAISONS : BENCHMARK FVCA 5

- Test 1 : Anisotropie modérée
- Test 3 : Ecoulement oblique
- Test 4 : Faille verticale
- Test 5 : Anisotropie tournante hétérogène
- Test 8 : Source ponctuelle

3 BILAN

(Eymard-Gallouët-Herbin '08)



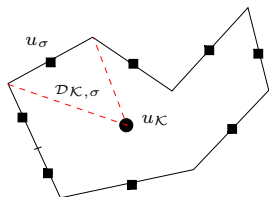
- Inconnues aux centres u_K et aux arêtes u_σ .
- L'ensemble des arêtes est divisé en deux

$$\mathcal{E} = \mathcal{E}_B \cup \mathcal{E}_H.$$

- Les inconnues u_σ correspondant à $\sigma \in \mathcal{E}_B$ sont éliminées par une formule barycentrique $u_\sigma = \sum_K \gamma_K^\sigma u_K$.
- Les inconnues u_σ correspondant à $\sigma \in \mathcal{E}_H$ sont libres.
- Formule “géométrique” \implies définition d'un gradient discret :

$$\begin{aligned} |\kappa| \xi &= \int_K \nabla \left(\xi \cdot (x - x_K) \right) dx = \sum_{\sigma \in \mathcal{E}_K} \int_\sigma \left(\xi \cdot (x - x_K) \right) \nu_{K,\sigma} dx \\ &= \sum_{\sigma \in \mathcal{E}_K} |\sigma| \left(\xi \cdot (x_\sigma - x_K) \right) \nu_{K,\sigma}. \end{aligned}$$

(Eymard-Gallouët-Herbin '08)



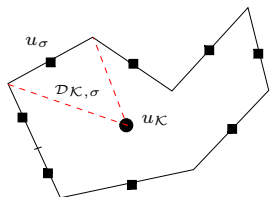
- Inconnues aux centres u_K et aux arêtes u_σ .
- L'ensemble des arêtes est divisé en deux

$$\mathcal{E} = \mathcal{E}_B \cup \mathcal{E}_H.$$

- Les inconnues u_σ correspondant à $\sigma \in \mathcal{E}_B$ sont éliminées par une formule barycentrique $u_\sigma = \sum_{\kappa} \gamma_{\kappa}^{\sigma} u_{\kappa}$.
- Les inconnues u_σ correspondant à $\sigma \in \mathcal{E}_H$ sont libres.
- Formule “géométrique” \implies définition d'un gradient discret :

$$|\kappa| \nabla u \approx \sum_{\sigma \in \mathcal{E}_K} |\sigma| (u(x_\sigma) - u(x_\kappa)) \nu_{\kappa, \sigma}.$$

(Eymard-Gallouët-Herbin '08)



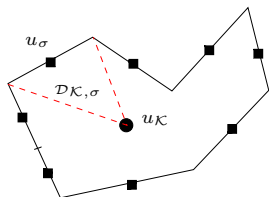
- Inconnues aux centres u_K et aux arêtes u_σ .
- L'ensemble des arêtes est divisé en deux

$$\mathcal{E} = \mathcal{E}_B \cup \mathcal{E}_H.$$

- Les inconnues u_σ correspondant à $\sigma \in \mathcal{E}_B$ sont éliminées par une formule barycentrique $u_\sigma = \sum_{\kappa} \gamma_{\kappa}^{\sigma} u_{\kappa}$.
- Les inconnues u_σ correspondant à $\sigma \in \mathcal{E}_H$ sont libres.
- Formule “géométrique” \implies définition d'un gradient discret :

$$\nabla_K u^T \stackrel{\text{def}}{=} \frac{1}{|K|} \sum_{\sigma \in \mathcal{E}_K} |\sigma| (u_\sigma - u_K) \nu_{K,\sigma}.$$

(Eymard-Gallouët-Herbin '08)



- Inconnues aux centres u_K et aux arêtes u_σ .
- L'ensemble des arêtes est divisé en deux

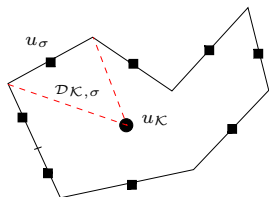
$$\mathcal{E} = \mathcal{E}_B \cup \mathcal{E}_H.$$

- Les inconnues u_σ correspondant à $\sigma \in \mathcal{E}_B$ sont éliminées par une formule barycentrique $u_\sigma = \sum_{\kappa} \gamma_{\kappa}^{\sigma} u_{\kappa}$.
- Les inconnues u_σ correspondant à $\sigma \in \mathcal{E}_H$ sont libres.
- Formule “géométrique” \implies définition d'un gradient discret :

$$\nabla_K u^T \stackrel{\text{def}}{=} \frac{1}{|K|} \sum_{\sigma \in \mathcal{E}_K} |\sigma| (u_\sigma - u_K) \nu_{K,\sigma}.$$

- Err. de consistance $R_{K,\sigma}(u^T) = \frac{\alpha}{d_{K,\sigma}} \left(u_\sigma - u_K - \nabla_K u^T \cdot (x_\sigma - x_K) \right)$.

(Eymard-Gallouët-Herbin '08)



- Inconnues aux centres u_K et aux arêtes u_σ .
- L'ensemble des arêtes est divisé en deux

$$\mathcal{E} = \mathcal{E}_B \cup \mathcal{E}_H.$$

- Les inconnues u_σ correspondant à $\sigma \in \mathcal{E}_B$ sont éliminées par une formule barycentrique $u_\sigma = \sum_{\kappa} \gamma_{\kappa}^{\sigma} u_{\kappa}$.
- Les inconnues u_σ correspondant à $\sigma \in \mathcal{E}_H$ sont libres.
- Formule “géométrique” \implies définition d'un gradient discret :

$$\nabla_K u^T \stackrel{\text{def}}{=} \frac{1}{|K|} \sum_{\sigma \in \mathcal{E}_K} |\sigma| (u_\sigma - u_K) \nu_{K,\sigma}.$$

- Err. de consistance $R_{K,\sigma}(u^T) = \frac{\alpha}{d_{K,\sigma}} \left(u_\sigma - u_K - \nabla_K u^T \cdot (x_\sigma - x_K) \right)$.
- Sur chaque triangle $\mathcal{D}_{K,\sigma}$ on définit un gradient **stabilisé**

$$\nabla_{K,\sigma} u^T = \nabla_K u^T + R_{K,\sigma}(u^T) \nu_{K,\sigma}.$$

- Le schéma s'écrit sous forme “variationnelle”

$$\int_{\Omega} (A(x)\nabla^{\tau} u^{\tau}) \cdot \nabla^{\tau} v^{\tau} dx = \sum_{\kappa} |\kappa| v_{\kappa} f_{\kappa}, \quad \forall v^{\tau} = ((v_{\kappa})_{\kappa}, (v_{\sigma})_{\sigma}).$$

- Le schéma s'écrit sous forme “variationnelle”

$$\int_{\Omega} (A(x)\nabla^T u^T) \cdot \nabla^T v^T dx = \sum_{\mathcal{K}} |\mathcal{K}| v_{\mathcal{K}} f_{\mathcal{K}}, \quad \forall v^T = ((v_{\mathcal{K}})_{\mathcal{K}}, (v_{\sigma})_{\sigma}).$$

- On peut l'écrire sous forme VF

$$\sum_{\mathcal{K}} \sum_{\sigma \in \mathcal{E}_{\mathcal{K}}} F_{\mathcal{K},\sigma}(u^T)(v_{\mathcal{K}} - v_{\sigma}) = \sum_{\mathcal{K}} |\mathcal{K}| v_{\mathcal{K}} f_{\mathcal{K}}, \quad \forall v^T = ((v_{\mathcal{K}})_{\mathcal{K}}, (v_{\sigma})_{\sigma}),$$

avec $F_{\mathcal{K},\sigma}(u^T) = \sum_{\sigma' \in \mathcal{E}_{\mathcal{K}}} \alpha_{\mathcal{K}}^{\sigma,\sigma'}(u_{\mathcal{K}} - u_{\sigma'})$, $\alpha_{\mathcal{K}}^{\sigma,\sigma'}$ dépend des données.

- Le schéma s'écrit sous forme "variationnelle"

$$\int_{\Omega} (A(x)\nabla^T u^T) \cdot \nabla^T v^T dx = \sum_{\mathcal{K}} |\mathcal{K}| v_{\mathcal{K}} f_{\mathcal{K}}, \quad \forall v^T = ((v_{\mathcal{K}})_{\mathcal{K}}, (v_{\sigma})_{\sigma}).$$

- On peut l'écrire sous forme VF

$$\sum_{\mathcal{K}} \sum_{\sigma \in \mathcal{E}_{\mathcal{K}}} F_{\mathcal{K},\sigma}(u^T)(v_{\mathcal{K}} - v_{\sigma}) = \sum_{\mathcal{K}} |\mathcal{K}| v_{\mathcal{K}} f_{\mathcal{K}}, \quad \forall v^T = ((v_{\mathcal{K}})_{\mathcal{K}}, (v_{\sigma})_{\sigma}),$$

avec $F_{\mathcal{K},\sigma}(u^T) = \sum_{\sigma' \in \mathcal{E}_{\mathcal{K}}} \alpha_{\mathcal{K}}^{\sigma,\sigma'}(u_{\mathcal{K}} - u_{\sigma'})$, $\alpha_{\mathcal{K}}^{\sigma,\sigma'}$ dépend des données.

- Pour les arêtes $\sigma \in \mathcal{E}_H$, l'inconnue v_{σ} est un degré de liberté, donc

$$F_{\mathcal{K},\sigma}(u) + F_{\mathcal{L},\sigma}(u) = 0.$$

- Pour les arêtes $\sigma \in \mathcal{E}_B$, **ceci est faux**.

- Le schéma s'écrit sous forme “variationnelle”

$$\int_{\Omega} (A(x)\nabla^T u^T) \cdot \nabla^T v^T dx = \sum_{\kappa} |\kappa| v_{\kappa} f_{\kappa}, \quad \forall v^T = ((v_{\kappa})_{\kappa}, (v_{\sigma})_{\sigma}).$$

- On peut l'écrire sous forme VF

$$\sum_{\kappa} \sum_{\sigma \in \mathcal{E}_{\kappa}} F_{\kappa, \sigma}(u^T)(v_{\kappa} - v_{\sigma}) = \sum_{\kappa} |\kappa| v_{\kappa} f_{\kappa}, \quad \forall v^T = ((v_{\kappa})_{\kappa}, (v_{\sigma})_{\sigma}),$$

avec $F_{\kappa, \sigma}(u^T) = \sum_{\sigma' \in \mathcal{E}_{\kappa}} \alpha_{\kappa}^{\sigma, \sigma'} (u_{\kappa} - u_{\sigma'})$, $\alpha_{\kappa}^{\sigma, \sigma'}$ dépend des données.

- Pour les arêtes $\sigma \in \mathcal{E}_H$, l'inconnue v_{σ} est un degré de liberté, donc

$$F_{\kappa, \sigma}(u) + F_{\mathcal{L}, \sigma}(u) = 0.$$

- Pour les arêtes $\sigma \in \mathcal{E}_B$, **ceci est faux**.

CHOIX DES ARÊTES BARYCENTRIQUES/HYBRIDES

- On décide que $\sigma \in \mathcal{E}_B$ si le tenseur A est régulier près de σ .
- On décide que $\sigma \in \mathcal{E}_H$ si A est discontinu à travers σ pour assurer une bonne précision et la conservativité locale.

PROPRIÉTÉS

(Eymard-Gallouët-Herbin '08)

- Schéma barycentrique/hybride adapté à la géométrie à mi-chemin entre VF et EF mixtes, proche des schémas mimétiques.

PROPRIÉTÉS

(Eymard-Gallouët-Herbin '08)

- Schéma barycentrique/hybride adapté à la géométrie à mi-chemin entre VF et EF mixtes, proche des schémas mimétiques.
- La conservativité locale n'est assurée que sur les arêtes "hybrides".
 - Schéma totalement barycentrique :
peu d'inconnues / profil large / pas de conservativité locale
 - Schéma totalement hybride :
beaucoup d'inconnues / profil réduit / conservativité locale
- Dans le cas barycentrique, la notion de "flux local" n'est pas très claire.

PROPRIÉTÉS

(Eymard-Gallouët-Herbin '08)

- Schéma barycentrique/hybride adapté à la géométrie à mi-chemin entre VF et EF mixtes, proche des schémas mimétiques.
- La conservativité locale n'est assurée que sur les arêtes "hybrides".
 - Schéma totalement barycentrique :
peu d'inconnues / profil large / pas de conservativité locale
 - Schéma totalement hybride :
beaucoup d'inconnues / profil réduit / conservativité locale
- Dans le cas barycentrique, la notion de "flux local" n'est pas très claire.
- Le système linéaire à résoudre est symétrique.
- Existence et unicité de la solution.
- Théorème de convergence dans le cas général.
- Estimation d'erreur en $O(\text{size}(\mathcal{T}))$ pour u et ∇u dans le cas **isotrope régulier**.

(Droniou–Eymard–Gallouët–Herbin '09)

THÉORÈME (ÉNONCÉ SIMPLIFIÉ)

Les trois méthodes suivantes

- *Mimétique*
- *VF mixtes*
- *SUCCES*

sont **algébriquement** équivalentes (en choisissant convenablement les paramètres).

1 QUELQUES GRANDES CLASSES DE MÉTHODES

- Schémas MPFA
- Schémas diamants
- Schémas VF monotones non-linéaires
- Schémas DDFV
- Schémas mimétiques
- Schémas VF mixtes
- Schémas SUCCES / SUSHI

2 COMPARAISONS : BENCHMARK FVCA 5

- Test 1 : Anisotropie modérée
- Test 3 : Ecoulement oblique
- Test 4 : Faille verticale
- Test 5 : Anisotropie tournante hétérogène
- Test 8 : Source ponctuelle

3 BILAN

(Herbin-Hubert, '08)

<http://www.latp.univ-mrs.fr/fvca5>

Actes de la conférence édités chez Wiley

Ed. : Robert Eymard et Jean-Marc Hérard

- 19 contributions.
- 9 cas tests.
- Une dizaine de familles de maillages.
- Quelques éléments de comparaison :
 - Nombre d'inconnues / d'éléments non nuls de la matrice.
 - Respect de la conservativité locale.
 - Erreurs L^∞/L^2 sur u et ∇u .
 - Erreur sur l'approximation des flux aux interfaces.
 - Respect de la positivité / Principe du maximum discret.
 - Bilan énergétique discret.

1 QUELQUES GRANDES CLASSES DE MÉTHODES

- Schémas MPFA
- Schémas diamants
- Schémas VF monotones non-linéaires
- Schémas DDFV
- Schémas mimétiques
- Schémas VF mixtes
- Schémas SUCCES / SUSHI

2 COMPARAISONS : BENCHMARK FVCA 5

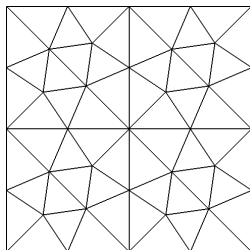
- Test 1 : Anisotropie modérée
- Test 3 : Ecoulement oblique
- Test 4 : Faille verticale
- Test 5 : Anisotropie tournante hétérogène
- Test 8 : Source ponctuelle

3 BILAN

TEST 1 : ANISOTROPIE MODÉRÉE

$$-\operatorname{div}(A\nabla u) = f \text{ dans } \Omega$$

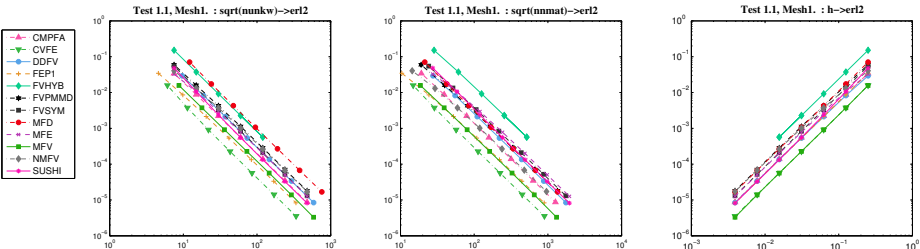
$$\text{avec } A = \begin{pmatrix} 1.5 & 0.5 \\ 0.5 & 1.5 \end{pmatrix} \text{ et } u(x, y) = 16x(1-x)y(1-y).$$



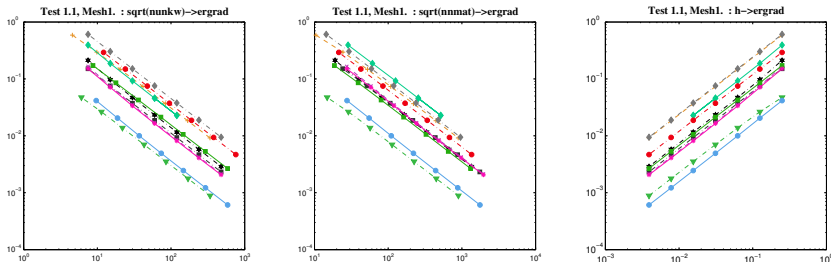
Mesh1

TEST 1 : ANISOTROPIE MODÉRÉE

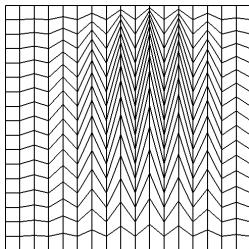
ERREUR L^2 SUR LA SOLUTION (ORDRE 2)



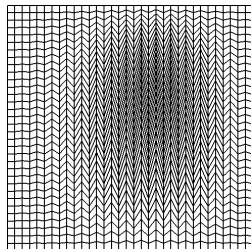
ET SUR LE GRADIENT (ORDRE 1)



TEST 1 : ANISOTROPIE MODÉRÉE



Mesh4_1



Mesh4_2

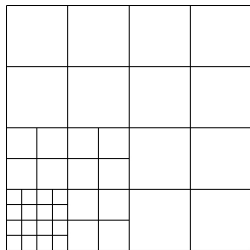
MINIMUM ET MAXIMUM DE LA SOLUTION APPROCHÉE

	mesh 4_1		mesh 4_2	
	umin	umax	umin	umax
CMPFA	9.95E-03	1.00E+00	2.73E-03	9.99E-01
CVFE	0.00E+00	8.43E-01	0.00E+00	9.14E-01
DDFV	1.33E-02	9.96E-01	3.63E-03	9.99E-01
FEQ1	0.00E+00	8.61E-01	0.00E+00	9.37E-01
FVHYB	2.14E-03	9.84E-01	7.16E-04	9.93E-01
FVSYM	7.34E-03	9.59E-01	2.33E-03	9.89E-01
MFD	6.64E-03	9.71E-01	1.50E-03	9.93E-01
MFV	1.08E-02	9.42E-01	3.34E-03	9.82E-01
NMFV	1.30E-02	1.11E+00	3.61E-03	1.04E+00
SUSHI	7.64E-03	8.88E-01	2.33E-03	9.61E-01

$$-\operatorname{div}(A\nabla u) = f \text{ dans } \Omega$$

avec $A = \begin{pmatrix} 1.5 & 0.5 \\ 0.5 & 1.5 \end{pmatrix}$ et

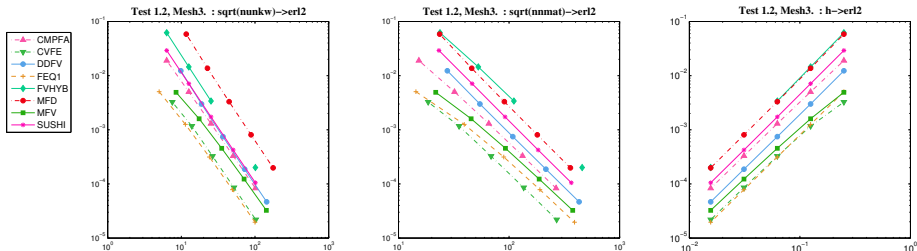
$$u(x, y) = \sin((1-x)(1-y)) + (1-x)^3(1-y)^2.$$



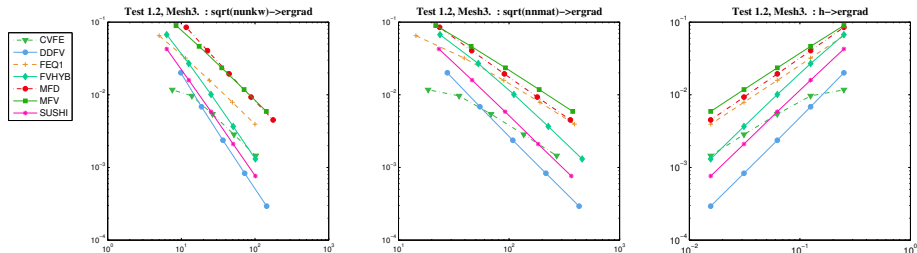
Mesh3

TEST 1 : ANISOTROPIE MODÉRÉE

ERREUR L^2 SUR LA SOLUTION (ORDRE 2)



ET SUR LE GRADIENT (ORDRES 0.5 OU 1)



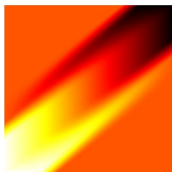
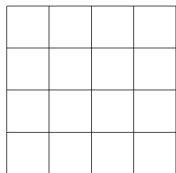
1 QUELQUES GRANDES CLASSES DE MÉTHODES

- Schémas MPFA
- Schémas diamants
- Schémas VF monotones non-linéaires
- Schémas DDFV
- Schémas mimétiques
- Schémas VF mixtes
- Schémas SUCCES / SUSHI

2 COMPARAISONS : BENCHMARK FVCA 5

- Test 1 : Anisotropie modérée
- **Test 3 : Ecoulement oblique**
- Test 4 : Faille verticale
- Test 5 : Anisotropie tournante hétérogène
- Test 8 : Source ponctuelle

3 BILAN



$$-\operatorname{div}(A\nabla u) = 0 \text{ dans } \Omega$$

$$\text{avec } A = R_\theta \begin{pmatrix} 1 & 0 \\ 0 & 10^{-3} \end{pmatrix} R_\theta^{-1}, \theta = 40^\circ$$

La donnée au bord \bar{u} est continue et linéaire par morceaux sur $\partial\Omega$:

$$\bar{u}(x, y) = \begin{cases} 1 & \text{sur } (0, .2) \times \{0.\} \cup \{0.\} \times (0, .2) \\ 0 & \text{sur } (.8, 1.) \times \{1.\} \cup \{1.\} \times (.8, 1.) \\ \frac{1}{2} & \text{sur } (.3, 1.) \times \{0\} \cup \{0\} \times (.3, 1.) \\ \frac{1}{2} & \text{sur } (0., .7) \times \{1.\} \cup \{1.\} \times (0., .7) \end{cases}$$

TEST 3 : ECOULEMENT OBLIQUE

MINIMUM ET MAXIMUM DES SOLUTIONS APPROCHÉES

	umin_i	umax_i	i
CMPFA	6.90E-02	9.31E-01	1
	9.83E-04	9.99E-01	7
CVFE	0.00E+00	1.00E+00	1
	0.00E+00	1.00E+00	7
DDFV	-4.72E-03	1.00E+00	1
	-5.31E-04	1.00E+00	7
FEQ1	0.00E+00	1.00E+00	1
	0.00E+00	1.00E+00	7
FVHYB	-1.75E-01	1.17E+00	1
	-1.00E-03	1.00E+00	6
FVSYM	6.85E-02	9.32E-01	1
	4.92E-04	9.99E-01	8
MFD	7.56E-02	9.24E-01	1
	8.01E-04	9.99E-01	8
MFE	3.12E-02	9.69E-01	1
	5.08E-04	9.99E-01	8
MFV	1.22E-02	8.78E-01	1
	7.92E-04	9.99E-01	7
NMFV	1.11e-01	8.88e-01	1
	1.28E-03	9.99E-01	7
SUSHI	6.03E-02	9.40E-01	1
	8.52E-04	9.99E-01	7

LES ÉNERGIES

	ener1	eren	i
CMPFA	N/A N/A	N/A N/A	
CVFE	2.24E-01 2.42E-01	8.42E-02 3.33E-03	1 7
DDFV	2.14E-01 2.42E-01	9.60E-02 7.11E-06	1 7
FEQ1	2.21E-01 2.44E-01	3.67E-01 3.17E-02	1 7
FVHYB	2.13E-01 2.42E-01	2.55E-01 8.19E-03	1 6
FVSYM	2.20E-01 2.42E-01	0.00E+00 0.00E+00	1 8
MFD	1.91E-01 2.42E-01	1.87E-14 3.70E-14	1 8
MFE	1.25E-01 2.41E-01	2.46E-02 2.91E-03	1 8
MFV	4.85E-01 2.42E-01	8.23E-07 9.74E-06	1 7
NMFV	2.33e-01 2.45E-01	1.45e-01 1.94E-02	1 7
SUSHI	2.25E-01 2.43E-01	3.01E-01 1.28E-02	1 7

Energie de volume

$$\text{ener1} \approx \int_{\Omega} A \nabla u \cdot \nabla u \, dx,$$

Energie de bord

$$\text{ener2} \approx \int_{\partial\Omega} A \nabla u \cdot \nu \, dx.$$

Sur le problème continu :

$$\text{eren1} = \text{eren2}.$$

Erreur sur le bilan d'énergie

$$\text{eren} = \text{ener1} - \text{ener2}.$$

1 QUELQUES GRANDES CLASSES DE MÉTHODES

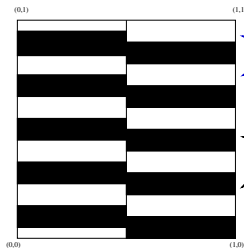
- Schémas MPFA
- Schémas diamants
- Schémas VF monotones non-linéaires
- Schémas DDFV
- Schémas mimétiques
- Schémas VF mixtes
- Schémas SUCCES / SUSHI

2 COMPARAISONS : BENCHMARK FVCA 5

- Test 1 : Anisotropie modérée
- Test 3 : Ecoulement oblique
- **Test 4 : Faille verticale**
- Test 5 : Anisotropie tournante hétérogène
- Test 8 : Source ponctuelle

3 BILAN

TEST 4 : FAILLE VERTICALE



$$-\operatorname{div}(A\nabla u) = 0 \text{ dans } \Omega$$

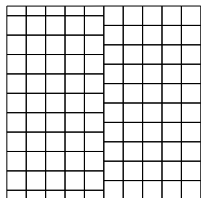
$$u = \bar{u} \text{ sur } \partial\Omega$$

$$\Omega_1$$

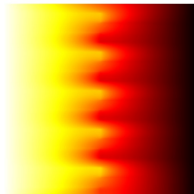
$$A = \begin{pmatrix} \alpha & 0 \\ 0 & \beta \end{pmatrix}, \text{ avec}$$

$$\begin{cases} \begin{pmatrix} \alpha \\ \beta \end{pmatrix} = \begin{pmatrix} 10^2 \\ 10 \end{pmatrix} & \text{dans } \Omega_1, \\ \begin{pmatrix} \alpha \\ \beta \end{pmatrix} = \begin{pmatrix} 10^{-2} \\ 10^{-3} \end{pmatrix} & \text{dans } \Omega_2 \end{cases}$$

$$\text{et } \bar{u}(x, y) = 1 - x.$$



mesh5



PRINCIPE DU MAXIMUM

- Vérifié par toutes les méthodes présentées ici.

VALEURS DES ÉNERGIES

	ener1 mesh5	eren mesh5	ener1 mesh5_ref	eren mesh5_ref
CVFE	45.9	1.04E-02	43.3	6.25E-04
DDFV	42.1	3.65E-02	43.2	1.27E-03
FVHYB	41.4	6.12E-02	/	/
MFD-BLS	33.9	7.93E-14	43.2	2.84E-12
MFD	31.4	1.16E-12	43.2	4.71E-14
MFV	49.9	4.21E-05	43.2	1.88E-05
NMFV	/	/	43.2	5.92E-04
SUSHI	39.1	6.67E-02	43.1	8.88E-04

APPROXIMATION DES FLUX SORTANT

$$\text{flux en } x = 0 : \int_{\partial\Omega \cap \{x=0\}} A \nabla u \cdot \nu,$$

	flux0 mesh5	flux0 mesh5_ref	flux1 mesh5	flux1 mesh5_ref	fluy0 mesh5	fluy0 mesh5_ref	fluy1 mesh5
CMPFA	-45.2	-42.1	46.1	44.4	-0.95	-2.33	4.84E-04
CVFE	-46.6	-42.2	48.5	44.5	0.87	-2.25	8.02E-04
DDFV	-40.0	-42.1	41.8	44.4	-1.81	-2.33	9.08E-04
FEQ1	/	-42.2	/	44.5	/	-2.16	/
FVHYB	-44.3	/	46.3	/	0.49	/	1.55E-04
MFD	-29.7	-42.1	34.1	44.4	-4.37	-2.33	1.01E-03
MFV	-44.0	-42.1	50.3	44.4	-8.03	-2.33	1.72E+00
NMFV	-43.2	-42.1	44.5	44.4	-1.23	-2.33	2.32E-04
SUSHI	-40.9	-42.1	43.1	44.4	-2.21	-2.33	6.94E-04

1 QUELQUES GRANDES CLASSES DE MÉTHODES

- Schémas MPFA
- Schémas diamants
- Schémas VF monotones non-linéaires
- Schémas DDFV
- Schémas mimétiques
- Schémas VF mixtes
- Schémas SUCCES / SUSHI

2 COMPARAISONS : BENCHMARK FVCA 5

- Test 1 : Anisotropie modérée
- Test 3 : Ecoulement oblique
- Test 4 : Faille verticale
- **Test 5 : Anisotropie tournante hétérogène**
- Test 8 : Source ponctuelle

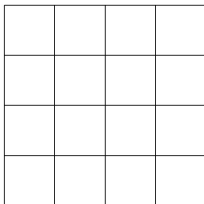
3 BILAN

$$-\operatorname{div}(A\nabla u) = f \text{ dans } \Omega$$

avec

$$A = \frac{1}{(x^2 + y^2)} \begin{pmatrix} 10^{-3}x^2 + y^2 & (10^{-3} - 1)xy \\ (10^{-3} - 1)xy & x^2 + 10^{-3}y^2 \end{pmatrix}$$

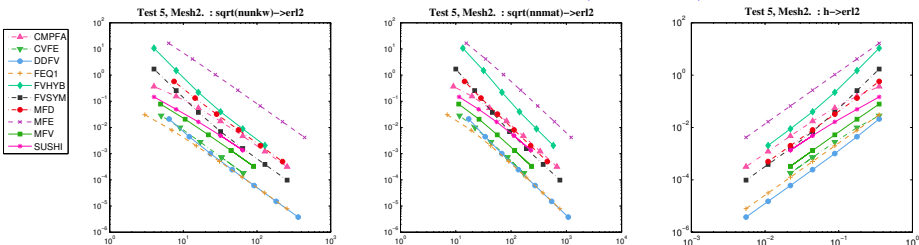
et $u(x, y) = \sin \pi x \sin \pi y$.



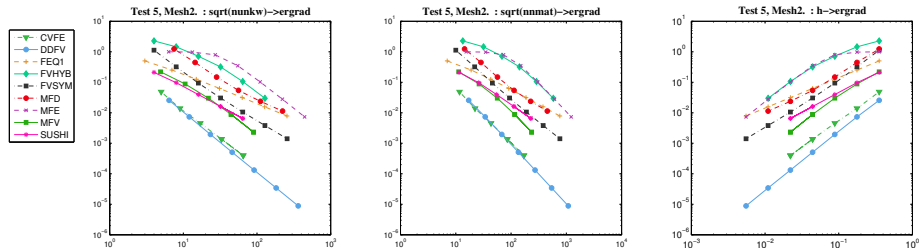
mesh2

TEST 5 : ANISOTROPIE TOURNANTE HÉTÉROGÈNE

ERREUR EN NORME L^2 SUR LA SOLUTION (ORDRE 2)



ET SUR SON GRADIENT (ORDRES COMPRIS ENTRE 1 ET 2)



CERTAINS SCHÉMAS NE VÉRIFIENT PAS LE PRINCIPE DU MAXIMUM

	umin	umax
CMPFA	-1.06E-01	1.09E+00
FEQ1	0.00E+00	1.05E+00
FVHYB	-1.92E+01	5.38E+00
FVSYM	-8.67E-01	2.57E+00
MFE	-1.62E+00	1.90E+01

1 QUELQUES GRANDES CLASSES DE MÉTHODES

- Schémas MPFA
- Schémas diamants
- Schémas VF monotones non-linéaires
- Schémas DDFV
- Schémas mimétiques
- Schémas VF mixtes
- Schémas SUCCES / SUSHI

2 COMPARAISONS : BENCHMARK FVCA 5

- Test 1 : Anisotropie modérée
- Test 3 : Ecoulement oblique
- Test 4 : Faille verticale
- Test 5 : Anisotropie tournante hétérogène
- Test 8 : Source ponctuelle

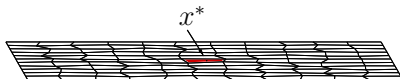
3 BILAN

$$-\Delta u = f \text{ dans } \Omega$$

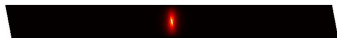
Conditions de Dirichlet homogènes

Terme source “mesure” : $f = 0$ sauf dans la cellule C^*

- $C^* = \text{cell}(6, 6)$
- $\int_{\text{cell}(6,6)} f(x) dx = 1.$
- $C^* = x^*$
- $f = \delta_{x^*}.$



Le maillage quadrangle utilisé
mesh9



Solution de référence sur une grille
fine régulière

VALEURS EXTRÊMES DES SOLUTIONS APPROCHÉES

	umin	umax		umin	umax
Fine grid	1.07E-24	4.10E-01	FVSYM	-7.21E-02	1.52E-01
			FVPMMD	1.22E-09	3.99E-01
CMPFA	-2.31E-02	1.03E-01	MFD	-1.03E-01	1.85E-01
CVFE	-1.23E-03	4.24E-02	MFV	-8.08E-03	5.81E-02
DDFV	-1.25E-03	8.22E-02	NMFV	3.05E-15	9.42E-02
FEQ1	-4.17E-03	4.90E-02	SUSHI	-1.19E-03	5.65E-02
FVHYB	-3.38E-02	1.12E-01	SUSHI-P	3.26E-06	6.77E-03

FLUX DE MASSE SUR LES QUATRE CÔTÉS DU DOMAINE

	flux0	flux1	fluy0	fluy1
Fine grid	5.46E-21	5.46E-21	5.00E-01	5.00E-01
CVFE	-1.17E-05	2.63E-05	2.87E-01	5.54E-01
DDFV	-5.814E-10	-3.35E-10	4.97E-01	5.02E-01
FEQ1	5.51E-06	7.15E-05	5.46E-01	4.89E-01
FVSYM	1.37E-04	-1.15E-04	4.96E-01	5.04E-01
FVPMMD	1.76E-06	3.5E-06	4.55E-01	5.44E-01
MFD	-5.14E-04	-3.13E-03	5.01E-01	5.03E-01
MFV	-2.30E-02	4.95E-02	2.74E-01	6.99E-01
NMFV	0.00E+00	0.00E+00	4.99E-01	5.01E-01
SUSHI	7.35E-04	1.29E-04	4.99E-01	5.00E-01
SUSHI-P	-4.21E-02	-3.29E-02	5.38E-01	5.37E-01

1 QUELQUES GRANDES CLASSES DE MÉTHODES

- Schémas MPFA
- Schémas diamants
- Schémas VF monotones non-linéaires
- Schémas DDFV
- Schémas mimétiques
- Schémas VF mixtes
- Schémas SUCCES / SUSHI

2 COMPARAISONS : BENCHMARK FVCA 5

- Test 1 : Anisotropie modérée
- Test 3 : Ecoulement oblique
- Test 4 : Faille verticale
- Test 5 : Anisotropie tournante hétérogène
- Test 8 : Source ponctuelle

3 BILAN

COMMENT CHOISIR UN SCHÉMA ?

- Ai-je besoin d'utiliser un maillage vraiment général (non conforme, déformé, ...) ?
- Ai-je besoin d'assurer la positivité/monotonie ?
- Ai-je besoin d'une approximation précise du gradient/des flux ?
- Ai-je besoin d'une approximation précise des énergies ?

COMMENT CHOISIR UN SCHÉMA ?

- Ai-je besoin d'utiliser un maillage vraiment général (non conforme, déformé, ...) ?
 - Ai-je besoin d'assurer la positivité/monotonie ?
 - Ai-je besoin d'une approximation précise du gradient/des flux ?
 - Ai-je besoin d'une approximation précise des énergies ?
-
- Avec quelles autres équations dois-je envisager un couplage ?
Avec un code déjà existant ?
 - Si oui, quelle est la structure de données dont je dispose dans mon code ?

COMMENT CHOISIR UN SCHÉMA ?

- Ai-je besoin d'utiliser un maillage vraiment général (non conforme, déformé, ...) ?
- Ai-je besoin d'assurer la positivité/monotonie ?
- Ai-je besoin d'une approximation précise du gradient/des flux ?
- Ai-je besoin d'une approximation précise des énergies ?

- Avec quelles autres équations dois-je envisager un couplage ?
Avec un code déjà existant ?
- Si oui, quelle est la structure de données dont je dispose dans mon code ?

- Ai-je besoin d'être rassuré par des théorèmes ?

FIN DE LA DEUXIÈME PARTIE !

- **Etape 1 :**

Consistance : $((A_{\mathcal{K}} \nabla \varphi), G)_{A^{-1}, \mathcal{K}} + \int_{\mathcal{K}} \varphi \operatorname{div}^{\mathcal{K}} G \, dx$

$$= \sum_{\sigma \in \mathcal{E}_{\mathcal{K}}} G_{\mathcal{K}, \sigma} \left(\int_{\sigma} \varphi \right), \forall \mathcal{K}, \forall G \in \mathbb{R}^{\mathcal{E}}, \forall \varphi \text{ affine.}$$

On applique cela à $\varphi(x) = b \cdot (x - x_{\mathcal{K}})$, $b \in \mathbb{R}^2$, il vient

$$M_{\mathcal{K}} N_{\mathcal{K}} = R_{\mathcal{K}}. \quad (\star)$$

- **Etape 1 :**

Consistance : $((A_{\mathcal{K}} \nabla \varphi), G)_{A^{-1}, \mathcal{K}} + \int_{\mathcal{K}} \varphi \operatorname{div}^{\mathcal{K}} G \, dx$

$$= \sum_{\sigma \in \mathcal{E}_{\mathcal{K}}} G_{\mathcal{K}, \sigma} \left(\int_{\sigma} \varphi \right), \forall \mathcal{K}, \forall G \in \mathbb{R}^{\mathcal{E}}, \forall \varphi \text{ affine.}$$

On applique cela à $\varphi(x) = b \cdot (x - x_{\mathcal{K}})$, $b \in \mathbb{R}^2$, il vient

$$M_{\mathcal{K}} N_{\mathcal{K}} = R_{\mathcal{K}}. \quad (\star)$$

- **Etape 2 :** La matrice $M_{\mathcal{K}} = \frac{1}{|\mathcal{K}|} R_{\mathcal{K}} A_{\mathcal{K}}^{-1t} R_{\mathcal{K}}$ vérifie (\star) .

- **Etape 1 :**

Consistance :
$$\left((A_{\mathcal{K}} \nabla \varphi), G \right)_{A^{-1}, \mathcal{K}} + \int_{\mathcal{K}} \varphi \operatorname{div}^{\mathcal{K}} G \, dx$$

$$= \sum_{\sigma \in \mathcal{E}_{\mathcal{K}}} G_{\mathcal{K}, \sigma} \left(\int_{\sigma} \varphi \right), \forall \mathcal{K}, \forall G \in \mathbb{R}^{\mathcal{E}}, \forall \varphi \text{ affine.}$$

On applique cela à $\varphi(x) = b \cdot (x - x_{\mathcal{K}})$, $b \in \mathbb{R}^2$, il vient

$$M_{\mathcal{K}} N_{\mathcal{K}} = R_{\mathcal{K}}. \quad (\star)$$

- **Etape 2 :** La matrice $M_{\mathcal{K}} = \frac{1}{|\mathcal{K}|} R_{\mathcal{K}} A_{\mathcal{K}}^{-1t} R_{\mathcal{K}}$ vérifie (\star) .

- **Etape 3 :** Si $M_{\mathcal{K}} N_{\mathcal{K}} = 0$, alors on a

$$\ker {}^t C_{\mathcal{K}} \subset \ker M_{\mathcal{K}} \Rightarrow \exists P_{\mathcal{K}}, \quad M_{\mathcal{K}} = P_{\mathcal{K}} {}^t C_{\mathcal{K}}.$$

Comme $M_{\mathcal{K}}$ est symétrique

$$P_{\mathcal{K}} {}^t C_{\mathcal{K}} = C_{\mathcal{K}} {}^t P_{\mathcal{K}} \Rightarrow P_{\mathcal{K}} = \underbrace{C_{\mathcal{K}} {}^t P_{\mathcal{K}} C_{\mathcal{K}}}_{\stackrel{\text{def}}{=} U_{\mathcal{K}}} \left({}^t C_{\mathcal{K}} C_{\mathcal{K}} \right)^{-1}.$$

Soient $\nu = (\nu_\kappa)_\kappa$ des paramètres positifs. On note

$$L_\nu(\mathcal{T}) = \left\{ (u^\mathcal{T}, \mathbf{v}^\mathcal{T}, F^\mathcal{T}) \text{ vérifiant, pour toute arête } \sigma = \kappa|\mathcal{L} \right. \\ \left. u_\kappa + \mathbf{v}_\kappa \cdot (x_\sigma - x_\kappa) - \nu_\kappa |\kappa| F_{\kappa,\sigma} = u_\mathcal{L} + \mathbf{v}_\mathcal{L} \cdot (x_\sigma - x_\mathcal{L}) - \nu_\mathcal{L} |\mathcal{L}| F_{\mathcal{L},\sigma} \right\}.$$

THÉORÈME (INÉGALITÉ DE POINCARÉ)

Il existe une constante $C > 0$ ne dépendant que de $\text{reg}(\mathcal{T})$ telle que

$$\forall (u^\mathcal{T}, \mathbf{v}^\mathcal{T}, F) \in L_\nu(\mathcal{T}), \quad \|u^\mathcal{T}\|_{L^2(\Omega)} \leq C (\|\mathbf{v}^\mathcal{T}\|_{L^2(\Omega)} + N(\nu, F)),$$

avec

$$N(\nu, F) = \left(\sum_{\kappa \in \mathcal{T}} \sum_{\sigma \in \mathcal{E}_\kappa} |\kappa|^2 \nu_\kappa^2 F_{\kappa,\sigma}^2 \right)^{\frac{1}{2}}.$$

$$u_{\mathcal{K}} + \mathbf{v}_{\mathcal{K}} \cdot (x_{\sigma} - x_{\mathcal{K}}) - \nu_{\mathcal{K}} |\mathcal{K}| F_{\mathcal{K},\sigma} = u_{\mathcal{L}} + \mathbf{v}_{\mathcal{L}} \cdot (x_{\sigma} - x_{\mathcal{L}}) - \nu_{\mathcal{L}} |\mathcal{L}| F_{\mathcal{L},\sigma} \quad (\star)$$

$$u_{\mathcal{K}} + \mathbf{v}_{\mathcal{K}} \cdot (x_{\sigma} - x_{\mathcal{K}}) - \nu_{\mathcal{K}} |\mathcal{K}| F_{\mathcal{K},\sigma} = u_{\mathcal{L}} + \mathbf{v}_{\mathcal{L}} \cdot (x_{\sigma} - x_{\mathcal{L}}) - \nu_{\mathcal{L}} |\mathcal{L}| F_{\mathcal{L},\sigma} \quad (\star)$$

ON EXPRIME u^T À L'AIDE DE FLUX

Soit $w \in H^2(B(0, R))$ telle que $-\Delta w = u^T$ dans Ω . On a alors

$$|\mathcal{K}| u_{\mathcal{K}} = \sum_{\sigma \in \mathcal{E}_{\mathcal{K}}} \left(- \int_{\sigma} \nabla w \cdot \boldsymbol{\nu}_{\mathcal{K}\sigma} \right) \stackrel{\text{def}}{=} \sum_{\sigma \in \mathcal{E}_{\mathcal{K}}} G_{\mathcal{K},\sigma}.$$

$$u_{\mathcal{K}} + \mathbf{v}_{\mathcal{K}} \cdot (x_{\sigma} - x_{\mathcal{K}}) - \nu_{\mathcal{K}} |\mathcal{K}| F_{\mathcal{K},\sigma} = u_{\mathcal{L}} + \mathbf{v}_{\mathcal{L}} \cdot (x_{\sigma} - x_{\mathcal{L}}) - \nu_{\mathcal{L}} |\mathcal{L}| F_{\mathcal{L},\sigma} \quad (\star)$$

ON EXPRIME u^T À L'AIDE DE FLUX

Soit $w \in H^2(B(0, R))$ telle que $-\Delta w = u^T$ dans Ω . On a alors

$$|\mathcal{K}| u_{\mathcal{K}} = \sum_{\sigma \in \mathcal{E}_{\mathcal{K}}} \left(- \int_{\sigma} \nabla w \cdot \boldsymbol{\nu}_{\mathcal{K}\sigma} \right) \stackrel{\text{def}}{=} \sum_{\sigma \in \mathcal{E}_{\mathcal{K}}} G_{\mathcal{K},\sigma}.$$

ON MULTIPLIE (\star) PAR LE FLUX DE w

N.B. : $G_{\mathcal{K},\sigma} = -G_{\mathcal{L},\sigma}$

$$\begin{aligned} \sum_{\sigma=\mathcal{K}|\mathcal{L} \in \mathcal{E}} (u_{\mathcal{K}} G_{\mathcal{K},\sigma} + u_{\mathcal{L}} G_{\mathcal{L},\sigma}) + (\mathbf{v}_{\mathcal{K}} \cdot (x_{\sigma} - x_{\mathcal{K}}) G_{\mathcal{K},\sigma} + \mathbf{v}_{\mathcal{L}} \cdot (x_{\sigma} - x_{\mathcal{L}}) G_{\mathcal{L},\sigma}) \\ - (\nu_{\mathcal{K}} |\mathcal{K}| F_{\mathcal{K},\sigma} G_{\mathcal{K},\sigma} + \nu_{\mathcal{L}} |\mathcal{L}| F_{\mathcal{L},\sigma} G_{\mathcal{L},\sigma}) = 0. \end{aligned}$$

$$u_{\mathcal{K}} + \mathbf{v}_{\mathcal{K}} \cdot (x_{\sigma} - x_{\mathcal{K}}) - \nu_{\mathcal{K}} |\mathcal{K}| F_{\mathcal{K},\sigma} = u_{\mathcal{L}} + \mathbf{v}_{\mathcal{L}} \cdot (x_{\sigma} - x_{\mathcal{L}}) - \nu_{\mathcal{L}} |\mathcal{L}| F_{\mathcal{L},\sigma} \quad (\star)$$

ON EXPRIME u^T À L'AIDE DE FLUX

Soit $w \in H^2(B(0, R))$ telle que $-\Delta w = u^T$ dans Ω . On a alors

$$|\mathcal{K}| u_{\mathcal{K}} = \sum_{\sigma \in \mathcal{E}_{\mathcal{K}}} \left(- \int_{\sigma} \nabla w \cdot \nu_{\mathcal{K}\sigma} \right) \stackrel{\text{def}}{=} \sum_{\sigma \in \mathcal{E}_{\mathcal{K}}} G_{\mathcal{K},\sigma}.$$

ON MULTIPLIE (\star) PAR LE FLUX DE w

N.B. : $G_{\mathcal{K},\sigma} = -G_{\mathcal{L},\sigma}$

$$\begin{aligned} \sum_{\sigma=\mathcal{K}|\mathcal{L} \in \mathcal{E}} (u_{\mathcal{K}} G_{\mathcal{K},\sigma} + u_{\mathcal{L}} G_{\mathcal{L},\sigma}) + (\mathbf{v}_{\mathcal{K}} \cdot (x_{\sigma} - x_{\mathcal{K}}) G_{\mathcal{K},\sigma} + \mathbf{v}_{\mathcal{L}} \cdot (x_{\sigma} - x_{\mathcal{L}}) G_{\mathcal{L},\sigma}) \\ - (\nu_{\mathcal{K}} |\mathcal{K}| F_{\mathcal{K},\sigma} G_{\mathcal{K},\sigma} + \nu_{\mathcal{L}} |\mathcal{L}| F_{\mathcal{L},\sigma} G_{\mathcal{L},\sigma}) = 0. \end{aligned}$$

ON ORDONNE PAR VOLUMES DE CONTRÔLE

$$\sum_{\mathcal{K} \in \mathcal{T}} |\mathcal{K}| |u_{\mathcal{K}}|^2 = \sum_{\mathcal{K} \in \mathcal{T}} \mathbf{v}_{\mathcal{K}} \cdot \left(\sum_{\sigma \in \mathcal{E}_{\mathcal{K}}} (x_{\mathcal{K}} - x_{\sigma}) G_{\mathcal{K},\sigma} \right) + \sum_{\mathcal{K} \in \mathcal{T}} \nu_{\mathcal{K}} |\mathcal{K}| \left(\sum_{\sigma \in \mathcal{E}_{\mathcal{K}}} F_{\mathcal{K},\sigma} G_{\mathcal{K},\sigma} \right).$$

$$\|u^T\|_{L^2}^2 = \underbrace{\sum_{\kappa \in \mathcal{T}} \mathbf{v}_\kappa \cdot \left(\sum_{\sigma \in \mathcal{E}_\kappa} (x_\kappa - x_\sigma) G_{\kappa,\sigma} \right)}_{=T_1} + \underbrace{\sum_{\kappa \in \mathcal{T}} \nu_\kappa |\mathcal{K}| \left(\sum_{\sigma \in \mathcal{E}_\kappa} F_{\kappa,\sigma} G_{\kappa,\sigma} \right)}_{=T_2}.$$

PREMIER TERME

$$T_1 = \sum_{\kappa \in \mathcal{T}} \mathbf{v}_\kappa \cdot \underbrace{\left(\sum_{\sigma \in \mathcal{E}_\kappa} |\sigma| (x_\kappa - x_\sigma) \otimes \boldsymbol{\nu}_{\kappa\sigma} \right)}_{|\mathcal{K}| \text{Id}} \left(\frac{1}{|\mathcal{K}|} \int_{\mathcal{K}} \nabla w \right) + O(\text{size}(\mathcal{T})) \|\mathbf{v}^T\|_{L^2}.$$

$$\|u^T\|_{L^2}^2 = \underbrace{\sum_{\kappa \in \mathcal{T}} \mathbf{v}_\kappa \cdot \left(\sum_{\sigma \in \mathcal{E}_\kappa} (x_\kappa - x_\sigma) G_{\kappa,\sigma} \right)}_{=T_1} + \underbrace{\sum_{\kappa \in \mathcal{T}} \nu_\kappa |\kappa| \left(\sum_{\sigma \in \mathcal{E}_\kappa} F_{\kappa,\sigma} G_{\kappa,\sigma} \right)}_{=T_2}.$$

PREMIER TERME

$$T_1 = \int_{\Omega} \mathbf{v}^T \cdot \nabla w + O(\text{size}(\mathcal{T})).$$

Le $O(\text{size}(\mathcal{T}))$ contient des termes de la forme

$$\left| \frac{1}{|\sigma|} \int_{\sigma} \nabla w - \frac{1}{|\kappa|} \int_{\kappa} \nabla w \right|^2 \leq C \frac{\text{diam}(\kappa)}{|\sigma|} \int_{\kappa} |\nabla^2 w|^2.$$

$$\|u^T\|_{L^2}^2 = \underbrace{\sum_{\kappa \in \mathcal{T}} \mathbf{v}_\kappa \cdot \left(\sum_{\sigma \in \mathcal{E}_\kappa} (x_\kappa - x_\sigma) G_{\kappa, \sigma} \right)}_{=T_1} + \underbrace{\sum_{\kappa \in \mathcal{T}} \nu_\kappa |\mathcal{K}| \left(\sum_{\sigma \in \mathcal{E}_\kappa} F_{\kappa, \sigma} G_{\kappa, \sigma} \right)}_{=T_2}.$$

PREMIER TERME

$$|T_1| \leq \|\mathbf{v}^T\|_{L^2} \underbrace{\|\nabla w\|_{L^2}}_{\leq C\|u^T\|_{L^2}} + O(\text{size}(\mathcal{T})) \|\mathbf{v}^T\|_{L^2} \underbrace{\|w\|_{H^2}}_{\leq C\|u^T\|_{L^2}}.$$

IDEM POUR LE DEUXIÈME TERME

[◀ Retour](#)

$$u_{\mathcal{K}} + \mathbf{v}_{\mathcal{K}} \cdot (x_{\sigma} - x_{\mathcal{K}}) - \nu_{\mathcal{K}} |\mathcal{K}| F_{\mathcal{K},\sigma} = u_{\mathcal{L}} + \mathbf{v}_{\mathcal{L}} \cdot (x_{\sigma} - x_{\mathcal{L}}) - \nu_{\mathcal{L}} |\mathcal{L}| F_{\mathcal{L},\sigma}. \quad (1)$$

$$F_{\mathcal{K},\sigma} + F_{\mathcal{L},\sigma} = 0. \quad (2)$$

$$|\mathcal{K}| A_{\mathcal{K}} \mathbf{v}_{\mathcal{K}} = - \sum_{\sigma \in \mathcal{E}_{\mathcal{K}}} F_{\mathcal{K},\sigma} (x_{\sigma} - x_{\mathcal{K}}). \quad (3)$$

$$\sum_{\sigma \in \mathcal{E}_{\mathcal{K}}} F_{\mathcal{K},\sigma} = |\mathcal{K}| f_{\mathcal{K}}. \quad (4)$$

$$u_{\mathcal{K}} + \mathbf{v}_{\mathcal{K}} \cdot (x_{\sigma} - x_{\mathcal{K}}) - \nu_{\mathcal{K}} |\mathcal{K}| F_{\mathcal{K},\sigma} = u_{\mathcal{L}} + \mathbf{v}_{\mathcal{L}} \cdot (x_{\sigma} - x_{\mathcal{L}}) - \nu_{\mathcal{L}} |\mathcal{L}| F_{\mathcal{L},\sigma}. \quad (1)$$

$$F_{\mathcal{K},\sigma} + F_{\mathcal{L},\sigma} = 0. \quad (2)$$

$$|\mathcal{K}| A_{\mathcal{K}} \mathbf{v}_{\mathcal{K}} = - \sum_{\sigma \in \mathcal{E}_{\mathcal{K}}} F_{\mathcal{K},\sigma} (x_{\sigma} - x_{\mathcal{K}}). \quad (3)$$

$$\sum_{\sigma \in \mathcal{E}_{\mathcal{K}}} F_{\mathcal{K},\sigma} = |\mathcal{K}| f_{\mathcal{K}}. \quad (4)$$

OBTENTION DE L'ESTIMATION sous l'hypothèse $\nu_{\mathcal{K}} |\mathcal{K}| \leq C_0$.

- On multiplie (4) par $u_{\mathcal{K}}$ et on somme. En utilisant (2), il vient

$$\sum_{\sigma \in \mathcal{E}} (u_{\mathcal{K}} - u_{\mathcal{L}}) F_{\mathcal{K}\mathcal{L}} = \int_{\Omega} u^T f.$$

$$u_{\mathcal{K}} + \mathbf{v}_{\mathcal{K}} \cdot (x_{\sigma} - x_{\mathcal{K}}) - \nu_{\mathcal{K}} |\mathcal{K}| F_{\mathcal{K},\sigma} = u_{\mathcal{L}} + \mathbf{v}_{\mathcal{L}} \cdot (x_{\sigma} - x_{\mathcal{L}}) - \nu_{\mathcal{L}} |\mathcal{L}| F_{\mathcal{L},\sigma}. \quad (1)$$

$$F_{\mathcal{K},\sigma} + F_{\mathcal{L},\sigma} = 0. \quad (2)$$

$$|\mathcal{K}| A_{\mathcal{K}} \mathbf{v}_{\mathcal{K}} = - \sum_{\sigma \in \mathcal{E}_{\mathcal{K}}} F_{\mathcal{K},\sigma} (x_{\sigma} - x_{\mathcal{K}}). \quad (3)$$

$$\sum_{\sigma \in \mathcal{E}_{\mathcal{K}}} F_{\mathcal{K},\sigma} = |\mathcal{K}| f_{\mathcal{K}}. \quad (4)$$

OBTENTION DE L'ESTIMATION sous l'hypothèse $\nu_{\mathcal{K}} |\mathcal{K}| \leq C_0$.

- On multiplie (4) par $u_{\mathcal{K}}$ et on somme. En utilisant (2), il vient

$$\sum_{\sigma \in \mathcal{E}} (u_{\mathcal{K}} - u_{\mathcal{L}}) F_{\mathcal{K}\mathcal{L}} = \int_{\Omega} u^T f.$$

- On utilise (1), on réordonne par maille,

$$\sum_{\mathcal{K} \in \mathcal{T}} \mathbf{v}_{\mathcal{K}} \cdot \left(\sum_{\sigma \in \mathcal{E}_{\mathcal{K}}} F_{\mathcal{K},\sigma} (x_{\mathcal{K}} - x_{\sigma}) \right) + \sum_{\mathcal{K} \in \mathcal{T}} \sum_{\sigma \in \mathcal{E}_{\mathcal{K}}} \nu_{\mathcal{K}} |\mathcal{K}| |F_{\mathcal{K},\sigma}|^2 = \int_{\Omega} u^T f.$$

$$u_{\mathcal{K}} + \mathbf{v}_{\mathcal{K}} \cdot (x_{\sigma} - x_{\mathcal{K}}) - \nu_{\mathcal{K}} |\mathcal{K}| F_{\mathcal{K},\sigma} = u_{\mathcal{L}} + \mathbf{v}_{\mathcal{L}} \cdot (x_{\sigma} - x_{\mathcal{L}}) - \nu_{\mathcal{L}} |\mathcal{L}| F_{\mathcal{L},\sigma}. \quad (1)$$

$$F_{\mathcal{K},\sigma} + F_{\mathcal{L},\sigma} = 0. \quad (2)$$

$$|\mathcal{K}| A_{\mathcal{K}} \mathbf{v}_{\mathcal{K}} = - \sum_{\sigma \in \mathcal{E}_{\mathcal{K}}} F_{\mathcal{K},\sigma} (x_{\sigma} - x_{\mathcal{K}}). \quad (3)$$

$$\sum_{\sigma \in \mathcal{E}_{\mathcal{K}}} F_{\mathcal{K},\sigma} = |\mathcal{K}| f_{\mathcal{K}}. \quad (4)$$

OBTENTION DE L'ESTIMATION sous l'hypothèse $\nu_{\mathcal{K}} |\mathcal{K}| \leq C_0$.

- On multiplie (4) par $u_{\mathcal{K}}$ et on somme. En utilisant (2), il vient

$$\sum_{\sigma \in \mathcal{E}} (u_{\mathcal{K}} - u_{\mathcal{L}}) F_{\mathcal{K}\mathcal{L}} = \int_{\Omega} u^T f.$$

- On utilise (1), on réordonne par maille, **puis on utilise (3)**

$$\sum_{\mathcal{K} \in \mathcal{E}} |\mathcal{K}| \mathbf{v}_{\mathcal{K}} \cdot (A_{\mathcal{K}} \mathbf{v}_{\mathcal{K}}) + \sum_{\mathcal{K} \in \mathcal{T}} \sum_{\sigma \in \mathcal{E}_{\mathcal{K}}} \nu_{\mathcal{K}} |\mathcal{K}| |F_{\mathcal{K},\sigma}|^2 = \int_{\Omega} u^T f.$$

Correspond à $\int_{\Omega} (A(x) \nabla u, \nabla u) dx = \int_{\Omega} f u dx.$

$$u_{\mathcal{K}} + \mathbf{v}_{\mathcal{K}} \cdot (x_{\sigma} - x_{\mathcal{K}}) - \nu_{\mathcal{K}} |\mathcal{K}| F_{\mathcal{K},\sigma} = u_{\mathcal{L}} + \mathbf{v}_{\mathcal{L}} \cdot (x_{\sigma} - x_{\mathcal{L}}) - \nu_{\mathcal{L}} |\mathcal{L}| F_{\mathcal{L},\sigma}. \quad (1)$$

$$F_{\mathcal{K},\sigma} + F_{\mathcal{L},\sigma} = 0. \quad (2)$$

$$|\mathcal{K}| A_{\mathcal{K}} \mathbf{v}_{\mathcal{K}} = - \sum_{\sigma \in \mathcal{E}_{\mathcal{K}}} F_{\mathcal{K},\sigma} (x_{\sigma} - x_{\mathcal{K}}). \quad (3)$$

$$\sum_{\sigma \in \mathcal{E}_{\mathcal{K}}} F_{\mathcal{K},\sigma} = |\mathcal{K}| f_{\mathcal{K}}. \quad (4)$$

OBTENTION DE L'ESTIMATION sous l'hypothèse $\nu_{\mathcal{K}} |\mathcal{K}| \leq C_0$.

- On multiplie (4) par $u_{\mathcal{K}}$ et on somme. En utilisant (2), il vient

$$\sum_{\sigma \in \mathcal{E}} (u_{\mathcal{K}} - u_{\mathcal{L}}) F_{\mathcal{K}\mathcal{L}} = \int_{\Omega} u^{\mathcal{T}} f.$$

- On utilise (1), on réordonne par maille, **puis on utilise (3)**

$$\|\mathbf{v}^{\mathcal{T}}\|_{L^2}^2 + \sum_{\mathcal{K} \in \mathcal{T}} \sum_{\sigma \in \mathcal{E}_{\mathcal{K}}} \nu_{\mathcal{K}} |\mathcal{K}| |F_{\mathcal{K},\sigma}|^2 \leq C \|f\|_{L^2} \|u^{\mathcal{T}}\|_{L^2}.$$

On conclut par l'inégalité de Poincaré

$$\|u^{\mathcal{T}}\|_{L^2}^2 + \|\mathbf{v}^{\mathcal{T}}\|_{L^2}^2 + \sum_{\mathcal{K} \in \mathcal{T}} \sum_{\sigma \in \mathcal{E}_{\mathcal{K}}} \nu_{\mathcal{K}} |\mathcal{K}| |F_{\mathcal{K},\sigma}|^2 \leq C' \|f\|_{L^2}^2. \quad \leftarrow \text{Retour}$$